

**Een archeologisch bureau-onderzoek en
inventariserend veldonderzoek door
middel van boringen voor het project
Compensatieplan Groningen Airport
Eelde, gemeente Tynaarlo (Dr.)**

N. van Malssen & M. Schepers
Met een bijdrage H. Buitenhuis

ARC-Rapporten 2010-65

Groningen
9 april 2010
ISSN 1574-6887



Colofon

Een archeologisch bureau-onderzoek en inventariserend veldonderzoek door middel van boringen voor het project Compensatieplan Groningen Airport Eelde, gemeente Tynaarlo (Dr.)

ARC-Rapporten 2010-65
ARC-Projectcode 2008/149

Opdrachtgever
DHV
Bevoegd gezag
Provincie Drenthe
Beheer en plaats van documentatie
Archaeological Research & Consultancy

ARCHIS nummer booronderzoek
32807

Tekst
N. van Malssen & M. Schepers
Met een bijdrage van
H. Buitenhuis
Afbeeldingen
N. van Malssen, M. Schepers & B. Schomaker
Redactie
N. van Malssen & A. Ufkes

Status
definitieve versie

Autorisatie — A. Ufkes



Uitgegeven door
ARC bv
Postbus 41018
9701 CA Groningen

ISSN 1574-6887

Groningen, 9 april 2010

Een recente lijst van de ARC-Rapporten is te vinden op www.arcbv.nl

1 Inleiding

Dit rapport bestaat uit een integrale overname van het definitieve ARC-rapport 2009-65 (Van Malssen & Schepers 2008), aangevuld met nieuw onderzoek (deelgebied M). Hiermee vervalt de eerdere rapportage van het onderzoek.

1.1 Aanleiding voor het onderzoek

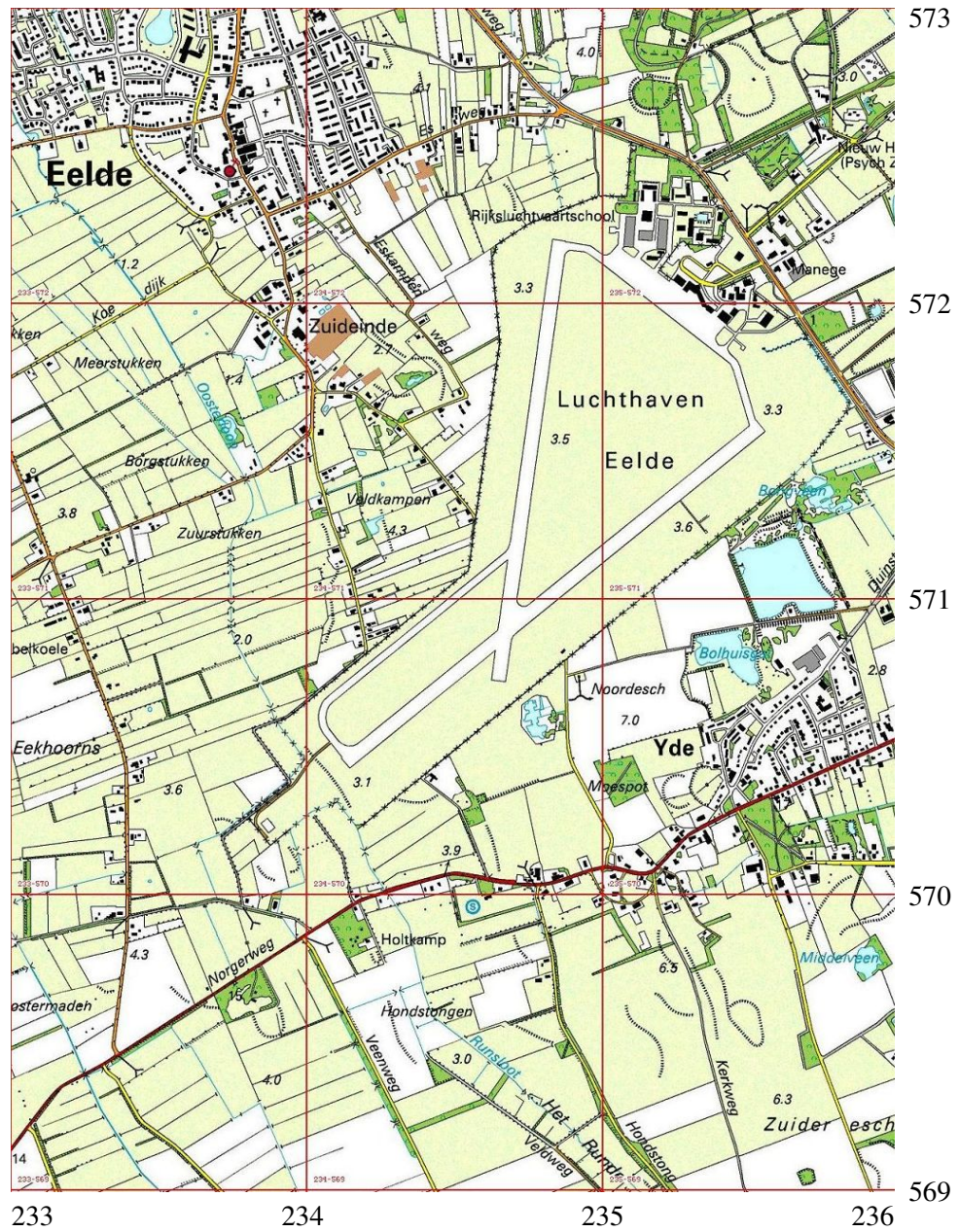
In opdracht van DHV bv heeft Archaeological Research & Consultancy (ARC bv) een archeologisch bureau-onderzoek en inventariserend veldonderzoek door middel van boringen uitgevoerd voor Groningen Airport. Aanleiding tot dit onderzoek vormen de geplande werkzaamheden ten behoeve van natuur- en boscompensatie en grondwerkzaamheden voor de baanverlenging. Door deze werkzaamheden worden mogelijk archeologische resten bedreigd. Conform de Wet op de archeologische monumentenzorg¹ dient het plangebied eerst te worden onderzocht op de aanwezigheid van archeologische waarden. Het bureau-onderzoek is verricht op 14 juli 2008 door drs. N. van Malssen. Het veldwerk is verricht van 28 november tot 3 december 2008 door M. Schepers MA, B. Schomaker en J.P. Mendelts BA. Aanvullend onderzoek is verricht in begin december 2009. Het archeologisch onderzoek is uitgevoerd conform de eisen die gesteld worden in de Kwaliteitsnorm voor de Nederlandse Archeologie (KNA versie 3.1)² en de richtlijnen van de provincie Drenthe.

1.2 Ligging van het onderzoeksgebied

Het onderzoeksgebied bestaat uit twaalf deelgebieden (A - M), die allemaal langs de randen van de luchthaven liggen. Het betreft gebieden waar 100% natuurcompensatie, 50% natuur- en 50% boscompensatie en 100% boscompensatie zal worden gerealiseerd (afb. 6). Daarnaast is een aantal boringen gezet naast de toekomstige baanverlenging.

¹In werking getreden op 1 september 2007.

²De inhoud van de KNA kan worden geraadpleegd op www.sikb.nl.



Abbeelding 1. Topografische kaart van de onderzoekslocatie (de luchthaven) en omgeving, voorzien van RD-coördinaten. Bron: Topografische Dienst Nederland.

1.3 Objectgegevens

| | |
|-----------------|--|
| Provincie | Drenthe |
| Gemeente | Tynaarlo |
| Plaats | Eelde |
| Toponiem | Groningen Airport Eelde |
| Kaartblad | 12B |
| Coördinaten | NO 235.070/572.550 ZO 235.880/571.600 ZW 233.370/569.700 NW 233.200/569.920 |
| Type bodem | Loopodzolgronden: lemig fijn zand; beekerdgronden: lemig fijn zand |
| Geomorfologie | Dekzandruggen; dalvormige laagte, zonder veen |
| Grondwaterstand | V – VII |

1.4 Doel van het onderzoek

1.4.1 Bureau-onderzoek

Doel van het bureau-onderzoek is het verkrijgen van inzicht in bekende en te verwachten archeologische waarden in en om het plangebied. Op basis van de verkregen informatie wordt een archeologisch verwachtingsmodel voor de onderzoekslocatie opgesteld. Hierin wordt beschreven of er archeologische resten aanwezig (kunnen) zijn in het plangebied, wat de potentiële aard en omvang hiervan is en of de voorgenomen werkzaamheden in het plangebied een bedreiging vormen voor het bodemarchief. Indien dit het geval is, wordt geadviseerd op welke wijze hiermee in het vervolgotraject van de plannen rekening dient te worden gehouden.

1.4.2 Inventariserend veldonderzoek

Het inventariserend veldonderzoek (IVO) dient ertoe het voorgestelde verwachtingsmodel te verifiëren en met veldwaarnemingen te completeren. Het IVO kent drie vormen: verkennend, karterend en waarderend. Het verkennend onderzoek richt zich op de bodemopbouw en mogelijke bodemverstoringen die de archeologische trefkans kunnen beïnvloeden. Het karterend onderzoek stelt vast of er al dan niet archeologische waarden aanwezig zijn. Het waarderend onderzoek bepaalt de waarde van de archeologische resten.

1.5 Werkwijze

1.5.1 Bureau-onderzoek

Voor het bureau-onderzoek wordt bronnenmateriaal uit diverse disciplines geraadpleegd en geïntegreerd tot een archeologisch verwachtingsmodel. Gegevens met

betrekking tot bekende en te verwachten archeologische waarden worden onder meer ontleend aan Archis.³ Om inzicht te krijgen in de ontstaansgeschiedenis van en de bodemopbouw binnen het plangebied worden geomorfologische en bodemkundige kaarten geraadpleegd. Hierbij wordt ook getracht informatie te verkrijgen met betrekking tot bekende verstoringen van de oorspronkelijke bodemopbouw. Voor een overzicht van de historische en subrecente situatie van het plangebied wordt gebruik gemaakt van topografisch-historisch kaartmateriaal. Tenslotte worden – voor zover aanwezig – de resultaten van voorgaand archeologisch onderzoek in de omgeving van het onderzoeksterrein nagetrokken op relevantie en bruikbaarheid. Bij dit onderzoek is tevens gebruik gemaakt van de Atlas van Drenthe, de Kaart Cultuurhistorische Waarden van de provincie.⁴

1.5.2 Inventariserend veldonderzoek

Het veldonderzoek is uitgevoerd als een verkennend booronderzoek. Dit komt neer op zes boringen per hectare, met een minimum aantal van zes boringen per deelgebied. Het totale aantal boringen komt uit op 148 (afb. 12 en 13 en bijlage 1). De boringen zijn geplaatst met een edelmanboor met een diameter van 7 cm. De boringen zijn verspreid over de deelgebieden gezet om een zo compleet mogelijk beeld van de bodemopbouw te krijgen. Alle boorkernen zijn geïnspecteerd op archeologische indicatoren en de boringen zijn beschreven conform de Archeologische Standaard Boorbeschrijving (ASB). Indien mogelijk is ter plaatse van de deelgebieden een oppervlaktekartering uitgevoerd.

³Het digitale archeologische informatiesysteem voor Nederland waarvan de Archeologische Monumenten Kaart (AMK) en de Indicatieve Kaart van Archeologische Waarden (IKAW) deel uitmaken.

⁴<http://www.drenthe.info/kaarten/website/fmc2/chw.html>.

2 Bureau-onderzoek

2.1 Voorgaand onderzoek

Op het terrein van de luchthaven hebben in het verleden meerdere archeologische onderzoeken plaatsgevonden. In het gebied tussen plangebieden A en B is een booronderzoek uitgevoerd, waarbij geen vondsten of sporen zijn aangetroffen (Essink 2003). Verder archeologisch onderzoek op deze locatie werd niet nodig geacht. Een zone ten zuidoosten van plangebieden J en K is onderzocht door middel van een booronderzoek, waarbij een deel is geselecteerd voor nader onderzoek vanwege de aanwezigheid van een B-horizont, de hoge archeologische verwachting en archeologische waarnemingen in de omgeving (Huis in 't Veld 2003). In een zone direct ten oosten van plangebied A zijn twee proefsleuven gegraven. Hierbij zijn geen sporen of vondsten aangetroffen. Verder is direct ten noordoosten van plangebied K een proefsleuf gegraven, waarbij een kuil gevuld met ijzerslakken is aangetroffen (Tuinstra & Wieringa 2006). Hoewel deze zone in het rapport wordt vrijgegeven, heeft de provinciaal archeoloog van Drenthe, dr. W.A.B. van der Sanden, besloten het gebied rondom de kuil archeologisch te onderzoeken, omdat hier zou kunnen gaan om een *special activity area*. Daarom is het gebied direct rond de kuil opgegraven. Uit dit onderzoek bleek dat zowel de kuil als de vermeende ijzerslakken van natuurlijke oorsprong waren (De Wit 2006).

2.2 Bekende aardwetenschappelijke waarden

Het onderzoeksterrein is gesitueerd in fysisch-geografische regio het noordelijk zandgebied, dat de provincie Drenthe omvat alsmede delen van de provincies Overijssel, Friesland en Groningen. (Berendsen 2005). De ondergrond bestaat grotendeels uit een keileemplateau (Formatie van Drenthe), dat tussen twee reeksen van lage stuwwallen ligt. Deze stuwwallen dateren uit het Saalien (de voorlaatste ijstijd, ca. 238.000 – 128.000 jaar geleden). Het keileemplateau wordt aan de oostkant begrensd door het NW-ZO georiënteerde oerstroomdal van de Hunze, dat grotendeels is opgevuld door dekzand. In het Weichselien (de laatste ijstijd, ca. 115.000 – 10.000 jaar geleden) is door de wind of door kleine rivieren op het keileempakket in lage ruggen een dekzandpakket afgezet, dat tot de Formatie van Bostel behoort (De Mulder et al. 2003, Berendsen 2005). De verschillende deelgebieden liggen volgens de geomorfologische kaart op dergelijke dekzandruggen. Deelgebieden J en K liggen deels ook in een dalvormige laagte (afb. 9). Volgens de bodemkaart (afb. 8) bestaat de bodem voor het grootste deel uit loopodzolgronden en voor een klein deel uit beekerdgronden (in de dalvormige laagte). Loopodzolbodems zijn gevormd nadat vanaf het einde van de Vroege Middeleeuwen stukken bos werden gekapt om plaats te maken voor landbouwgrond (vandaar de naam: 'loo' betekent 'open plek in het bos'). Tussen de dorpen Yde in het zuiden en Eelde in het noorden ligt een esdek, dat vanaf de Late Middeleeuwen is ontstaan doordat landbouwgronden bemest werden met plaggen en schapenmest (het potstal-systeem). Door menselijke ingrepen verdween het bos en onstonden uitgestrekte heidevelden

en stuifzanden: de zogenaamde woeste gronden. Tot in het begin van de 20e eeuw lagen ten noordoosten en zuidwesten van de es nog woeste gronden.⁵ Deelgebied D ligt nabij dit esdek (het westelijke deel).

2.3 Bekende archeologische waarden

Volgens de IKAW liggen de meeste deelgebieden in een zone met een hoge trefkans op archeologische waarden. Uitzonderingen zijn het zuidelijke deel van deelgebied A, dat een lage verwachting heeft en het middendeel van deelgebied A, het zuidwestelijke deel van deelgebied E, deelgebied F, het noordoostelijke deel van I-2 en het zuidwestelijke deel van deelgebied J, die allemaal een middelhoge trefkans hebben. Deelgebied L heeft in het noorden en oosten een hoge verwachting en in het zuidwesten een middelhoge verwachting. In de directe omgeving van de plangebieden ligt een aantal AMK-monumenten (afb. 7):

- Op minder dan 600 m van deelgebieden D, E en L liggen een monument van hoge archeologische waarde (monumentnr. 14.037, het esdorp Yde) en een monument van archeologische waarde (monumentnr. 14.095, de omgeving van de vindplaats van het 'Meisje van Yde', een veenlijk uit de IJzertijd). Dit tweede monument betreft een terrein met mogelijk sporen van bewoning uit het Midden-Neolithicum, het Laat-Neolithicum en/of de Vroege Bronstijd, de Late Bronstijd – Vroege IJzertijd en de Laat-Romeinse Tijd – Vroege Middeleeuwen.
- Ongeveer 1 km ten westen van de luchthaven ligt de laatmiddeleeuwse 'waterburcht van Eelde', een beschermd monument van zeer hoge archeologische waarde (monumentnr. 1.628).
- Iets ten noordoosten ligt de havezathe Oosterbroek, een beschermd monument van zeer hoge archeologische waarde dat uit de periode Late Middeleeuwen – Nieuwe Tijd dateert (deels buiten het kaartbereik, monumentnr. 486).

In de omgeving zijn meerdere waarnemingen (afb. 7) gedaan:

- Vlakkbij Yde zijn (resten van) een maalsteen en handgevormd aardewerk uit de Bronstijd gevonden (waarnemingsnr. 238.863).
- Resten van een nederzetting uit het Laat-Paleolithicum (waarnemingsnr. 34.056).
- Huisplattengronden uit de Late Middeleeuwen (waarnemingsnr. 34.055) en uit de periode Middeleeuwen – Nieuwe Tijd (waarnemingsnr. 34.046).
- Twee wandscherven van waarschijnlijk middeleeuws aardewerk (waarnemingsnr. 238.880).
- Een aantal middeleeuwse randscherven (waarnemingsnr. 238.939).
- De centraal op de luchthaven gelegen waarneming 238.454 betreft de vermelding van de bodemopbouw ter plaatse in 1949, toen ten behoeve van de uitbreiding van het vliegveld het Karrekampsveen werd verwijderd.

⁵Atlas van Drenthe, Kaart Cultuurhistorische Waarden.

2.4 Historische situatie

Op zowel de kaart uit de Atlas van Huguenin uit ca. 1829 (Versfelt & Schroor 2005), de kadastrale minuut uit ca. 1832⁶ als op een topografische kaart uit ca. 1900 (afb. 10) is het terrein van de luchthaven onbebouwd. Zoals reeds vermeld lagen hier woeste gronden. De luchthaven bij Eelde werd in 1931 geopend. In 1946 werd het huidige grondplan aangelegd met twee startbanen. In de daarop volgende decennia werd de luchthaven diverse malen gemoderniseerd.⁷

2.5 Gespecificeerd archeologisch verwachtingsmodel

Op basis van de bij het bureau-onderzoek verkregen informatie kan een archeologisch verwachtingsmodel voor het plangebied worden opgesteld. De archeologische trefkans is volgens de Indicatieve Kaart van Archeologische Waarden (IKAW) voor de meerderheid van de deelgebieden hoog. Deze hoge trefkans is toegekend op basis van de aanwezige loopodzolbodem in relatie tot de grondwatertrap. In de bodem kunnen resten aanwezig zijn vanaf het begin van de Late Middeleeuwen, toen de regio werd ontgonnen en gronden door bemesting met mest en plaggen geschikt werden gemaakt voor landbouw. In de direct omgeving van zijn sporen gevonden van huisplattegronden, die dateren uit de Late Middeleeuwen (waarnemingsnr. 34.055) en uit de periode Middeleeuwen - Nieuwe Tijd (waarnemingsnr. 34.046). Mogelijk zijn ook prehistorische resten aan te treffen: bij Yde zijn immers resten gevonden uit de Bronstijd en de IJzertijd. Ook zijn resten van een nederzetting uit het Laat-Paleolithicum gevonden (waarnemingsnr. 34.056). Deelgebied F heeft een middelhoge trefkans. Terreinen E, I-2, J en L hebben deels een middelhoge en deels een hoge trefkans, terwijl deelgebied A zowel een lage, middelhoge als hoge trefkans heeft.

⁶www.watwaswaar.nl.

⁷Encyclopedie Drenthe Online.

3 Inventariserend veldonderzoek

In onderstaand overzicht worden de resultaten per deelgebied beschreven. De bijbehorende boorstaten zijn weergegeven in bijlage 1. De positie van de boringen is terug te vinden in de boorpuntenkaarten (afb. 12 en 13). In de boorstaten is in enkele gevallen de opmerking ‘podzolmix’ terug te vinden. Hieronder wordt een rommelige laag verstaan, waarin in de vorm van gekleurde vlekken nog zichtbaar is dat ter plaatse ooit een podzolbodem aanwezig is geweest. Het gaat hier dus *niet* om (deels) intacte bodemhorizonten. Desalniettemin zou uit het nog wel herkenbaar zijn van de podzolrestanten kunnen worden afgeleid dat de verstoring ter plaatse beperkt is en dat de C-horizont niet is afgetopt. Boringen die niet in één van de gebieden ten bate van milieu- en/of boscompensatie vallen, worden besproken onder dat deelgebied waar zij het dichtste bij liggen. Oorspronkelijk waren twaalf deelgebieden geselecteerd, maar deelgebied B is afgevallen omdat het gebied al tot op grote diepte verstoord bleek te zijn. Voor deelgebied F was in deze fase nog geen betredingstoestemming. Deelgebied I is opgesplitst in de subdeelgebieden I-1 en I-2. In deze fase van het onderzoek was alleen gebied I-2 toegankelijk. Ook van deelgebied J kon een klein hoekje niet in dit onderzoek worden meegenomen. Per deelgebied worden de huidige situatie ter plaatse, de bodemopbouw en eventuele vondsten beschreven.

Deelgebied A: boringen 138 – 144

Dit deelgebied (11.167 m²) bevindt zich direct ten noorden van de landingsbaan 01-19 (afb. 12). Twee boringen (138 en 139) zijn nog binnen de hekken van het luchthaventerrein gezet. Dit terrein bestaat uit grasland. In beide boringen werd direct onder de bouwvoor een pakket van ruim 1 m opgebrachte grond aangetroffen. Onder dit opgebrachte pakket bevond zich een oude bouwvoor. Onder deze bouwvoor werd in beide boringen het restant van een B-horizont aangetroffen (afb. 2). De overige boringen zijn gezet buiten het vliegveldterrein, op een veld dat nu als grasland in gebruik is. Dit terrein lag duidelijk lager dan het aangrenzende vliegveldterrein. Dit hoogteverschil is geheel terug te voeren op de ophogingslagen aldaar. De boringen 140 – 144 waren allemaal tot op grote diepte verstoord.

Deelgebied B

Deelgebied B (5.536 m²) ligt aan de Burgemeester J.G. Legroweg, in het verlengde van landingsbaan 05-23. Het gebied was aanvankelijk ook geselecteerd voor booronderzoek. Na nadere bestudering van de perceelsgegevens bleek echter dat hier in het kader van stortlagen in het verleden al tot op 4 m –mv grond afgegraven is. Er is derhalve geen kans meer op het aantreffen van intacte archeologische resten.



Afbeelding 2. Overgang van de oude bouwvoor naar de B-horizont in boring 138.

Deelgebied C: boringen 84 – 89

Deelgebied C (4.158 m²) ligt in de zuidoosthoek van het vliegveldterrein, aan de Burgemeester J.G. Legroweg (afb. 12). Het gebied bestaat uit ruig grasland. Ter plaatse zijn zes boringen gezet die alle tot op grote diepte rommelig bleken. Mogelijk is hier grond opgebracht. Deze rommelige laag ging geleidelijk over in de oorspronkelijke bodem, maar ook deze was sterk verrommeld. In twee boringen (87 en 89) was nog in het vermengde zand zichtbaar dat ter plaatse oorspronkelijk een podzolprofiel aanwezig is geweest.

Deelgebied D: boringen 12 – 37

Deelgebied D (34.715 m²) ligt aan de noordkant van het esdorp Yde, aan de Visersweg (afb. 12). Ten tijde van het onderzoek was de akker vrij recent geploegd, vermoedelijk na het oogsten van de bieten die nog her en der op het land lagen. Direct ten zuidwesten van het gebied ligt de Noordsch. Aan deze zijde van het plangebied is een duidelijke verhoging zichtbaar. Alle boringen op het terrein vertoonden een vergelijkbaar profiel. De geploegde bouwvoor gaat geleidelijk of scherp over in ongestoord dekzand. Ook ter plaatse van de verhoging is dit het geval. Waarschijnlijk is de verhoging de uitloper van een dekzandrug waarop ook de nabijliggende es is aangelegd. De bolle vorm van essen wordt meestal veroorzaakt door het onderliggende natuurlijke reliëf (Spek 2004, p. 658). In veel gevallen bevindt zich tussen de bouwvoor en de C-horizont nog een rommelige tussenlaag, waarin soms resten van podzolhorizonten herkenbaar zijn in de vorm van gekleurde vlekken.

Omdat de akker recentelijk omgeploegd was, kon ter plaatse een oppervlaktekartering worden uitgevoerd. Hierbij werden aan de oppervlakte dertien stuks vuursteen aangetroffen, die door drs. J.R. Veldhuis (ARC bv) gedetermineerd zijn. Tien hiervan bleken duidelijk bewerkt, twee stukken zijn onbewerkte verbrande stukken en van één verbrand stuk kon niet met zekerheid gezegd worden of het bewerkt was of niet. De tien bewerkte stukken zijn onder te verdelen in zeven afslagfragmenten,



Afbeelding 3. Overgang van de bouwvoor naar de C-horizont in boring 3.

één klingfragment en twee door retouchering verkregen werktuigen. Op één afslag was retouche aanwezig. Ook is er een door retouchering verkregen microboortje aangetroffen. Een exacte datering is niet mogelijk, maar waarschijnlijk gaat het om mesolithische resten. Naast het vuursteenmateriaal werd ook nog een randfragment van kogelpot aangetroffen. Dit fragment is bekeken door mw. drs. K.L.B. Bosma (ARC bv) en is te dateren in de Late Middeleeuwen.

Deelgebied E: boringen 1 – 11

Deelgebied E (7.223 m²) ligt aan de noordkant van het huis aan de Bunnerzandweg 2 (afb. 13). Naast de boringen op het deel natuurcompensatie zijn hier ook een aantal boringen op het toekomstige vliegveldterrein gezet. Uit de boringen kwam naar voren dat de bodem ter plaatse zwaar verstoord is (afb. 3). Alleen in boring 9 was nog een restant van een BC-horizont herkenbaar. In twee boringen (2 en 10) werd een veenpakket aangetroffen. De overige boringen vertoonden een AC-profiel, af en toe nog met een rommelige tussenlaag.

Deelgebied F

Geen betredingstoestemming. Dit deelgebied (1.520 m²) zal in een later stadium worden onderzocht. In januari 2010 is besloten dat het deelgebied F verder niet in het compensatieplan zal worden opgenomen. Er is daarom geen onderzoek verricht.

Deelgebied G: boringen 78 – 83

Deelgebied G (2.048 m²) ligt aan de Eekhoornstraat, aan het uiterste westeinde van de toekomstige uitbreiding (afb. 13). Ter plaatse zijn zes boringen gezet. Deze lieten alle een zwaar verstoorde bodem zien, die binnen enkele decimeters overgaat in de C-horizont. Aan horizontkleurige vlekken in boring 82 was te zien dat ter plekke wel bodemvorming heeft plaatsgevonden.



Afbeelding 4. Scherpe overgang van de C-horizont naar keileem in boring 102.

Deelgebied H: boringen 90 – 95, 132 – 137 en 145 – 148

Deelgebied H (2.016 m²) ligt in het verlengde van de Bunnerzandweg, ten westen van de Eekhoornweg (afb. 13). In al deze boringen werd een verstoord profiel aangetroffen. In boringen 94 en 95 zette deze verstoring tot op grote diepte door. Naast de boringen in het gebied voor natuurcompensatie zijn op een aantal percelen in de buurt boringen gezet. Ook deze boringen bleken zwaar verstoord. In geen enkele boring werd nog een herkenbare podzolhorizont aangetroffen. Dat ter plaatse wel bodemvorming heeft plaatsgevonden kan worden geconcludeerd op basis van horizontkleurige vlekken in boring 148. In de boringen 132 – 136 bevond zich sterk zandig keileem binnen 65 cm.

Deelgebied I: boringen 96 – 107

Deelgebied I ligt in het zuidwestelijk verlengde van de taxibaan aan de noordkant van landingsbaan 05-23 en sluit aan op de Eekhoornstraat (afb. 13). Het gebied is onderverdeeld in de subdeelgebieden I-1 (1.567 m²) en I-2 (1.883 m²). Voor deelgebied I-1 was in deze fase van het onderzoek nog geen betredingstoestemming. De boringen die nu gezet zijn laten een tamelijk uniform beeld zien van een tot in de keileem verstoorde bodem (afb. 4). Dat ter plaatse wel bodemvorming heeft plaatsgevonden kan worden geconcludeerd op basis van horizontkleurige vlekken in boringen 96 en 107. In één boring (105) werd een 35 cm dik veenpakket aangetroffen. Hieronder was in het zand geen bodemvorming zichtbaar. Omdat in alle omliggende gebieden de bodem is verstoord, is na overleg geconcludeerd dat het terreindeel I-1 niet verder hoeft te worden onderzocht.

Deelgebied J: boringen 108 – 125

Deelgebied J (34.827 m²) ligt in het zuidwestelijk verlengde van de taxibaan aan de noordkant van landingsbaan 05-23, direct aansluitend aan de ventweg rond het vliegveldterrein (afb. 13). Het terrein sluit aan op deelgebied I. Het zuidelijkste

puntje van dit deelgebied is door ontbrekende betredingstoestemming niet meegenomen in deze fase van het onderzoek. Het terrein is overal tenminste tot in de C-horizont verstoord, in veel gevallen zelfs tot op het keileempakket. Dat ter plaatse wel bodemvorming heeft plaatsgevonden kan worden geconcludeerd op basis van horizontkleurige vlekken in boring 123. Gezien de verstoringen van de bodem in de omliggende gebieden is afgezien van verder onderzoek in het zuidelijkste deel van dit deelgebied.

Deelgebied K: boringen 126 – 131

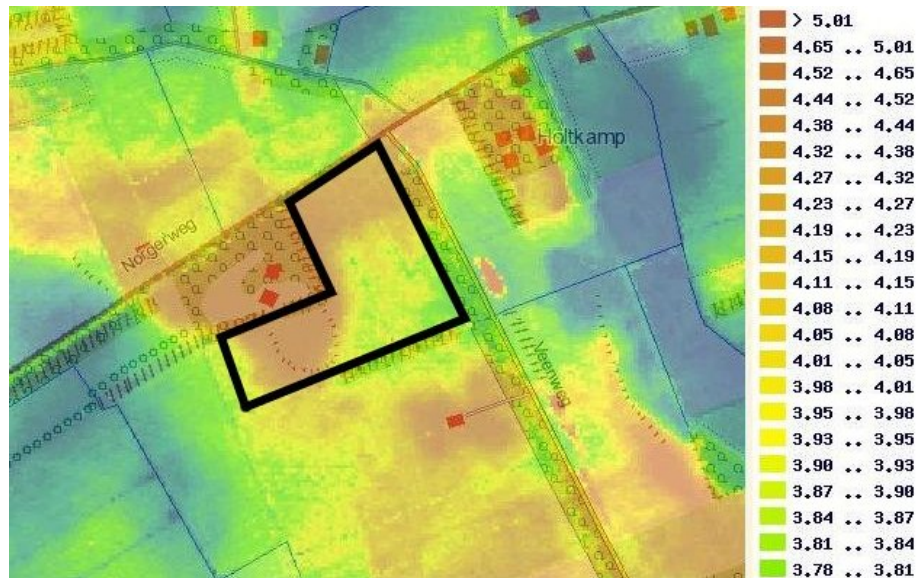
Deelgebied K (6.201 m²) ligt in het zuidwestelijk verlengde van de taxibaan aan de noordkant van landingsbaan 05-23, tussen het vliegveldterrein en de ventweg hieromheen (afb. 13). Aan de andere kant van de ventweg ligt deelgebied J. De bodem laat dan ook een vergelijkbaar beeld zien. Alle boringen zijn tot in de C-horizont verstoord. Hieronder bevindt zich sterk zandig keileem met roestvlekken.

Deelgebied L: boringen 38 – 77

Deelgebied L (ca. 64.000 m²) ligt ten zuiden van de geplande uitbreiding (afb. 13). Het gebied grenst aan de oostkant aan de Veenweg en aan de noordkant aan de Norgerweg. In de zuidwesthoek van het deelgebied is duidelijk een verhoging zichtbaar. Deze verhoging is ook duidelijk zichtbaar op hoogtekaarten (afb. 5). De boringen die op de kop in deze hoek liggen laten een duidelijk ander beeld zien dan de boringen op het lager gelegen deel, doordat de bodem hier aanzienlijk droger is. In de lager gelegen delen wordt onder het dekzand keileem aangetroffen. In een aantal gevallen is de top hiervan echter kleilig. Het gaat hier waarschijnlijk om pleistocene kleiafzettingen op de top van het keileem. Ook is in de lager gelegen delen de top van het dekzand veel humeuzer en wordt af en toe veen aangetroffen. Aan de noordkant van het deelgebied is een verploegde podzol herkenbaar in de vorm van vlekken. Op het hoger gelegen deel is geen podzolvorming meer herkenbaar. Wel is in deze boringen meer roestvorming in het dekzand zichtbaar.

3.1 Deelgebied M

In het onderzoek was één traject nog niet toegankelijk. Dit traject, deelgebied M (afb. 7) verbindt deelgebieden F, G, H en I. Op 11 december 2009 is hier alsnog verkennend booronderzoek uitgevoerd door M.C.M. Komen. Er zijn 22 boringen gezet (afb. 14), volgens dezelfde normen en eisen gesteld in het bovengenoemde onderzoek. In bijlage 1 zijn deze boringen genummerd als 301 – 322. De bodem in deze boringen bestaat uit dekzand onder de bouwvoor. In een aantal boringen is een rommelige, venige zandlaag op het dekzand gevonden. In boringen 304, 307, 311, 315 – 318 en 322 is een duidelijke donkerbruine B-horizont in de top van het dekzand, vrijwel direct onder de bouwvoor, gevonden met een dikte van 10 – 20 cm. Er zijn geen archeologische indicatoren in de boringen aangetroffen.



Afbeelding 5. Hoogteverschil in deelgebied L. In de zuidwesthoek is het verhoogd liggende gedeelte met hoogtelijnen geaccentueerd. Bron: www.ahn.nl.

4 Samenvatting en aanbevelingen

Op en rond Groningen Airport Eelde zijn grondboringen uitgevoerd in verband met de toekomstige baanverlenging en de daarvoor vereiste natuurcompensatie. In totaal zijn 170 boringen gezet, verdeeld over tien deelgebieden (afb. 12 en 13). Deelgebied B is niet onderzocht, omdat hier de bodem in het verleden tot op 4 m –mv was afgegraven. Voor de deelgebieden F, I-1 en een klein deel van J was nog geen betredingstoestemming verkregen. Deze deelgebieden zijn in december 2009 onderzocht. In januari 2010 is besloten dat het deelgebied F verder niet in het compensatieplan zal worden opgenomen. In afb. 11 is een kaart opgenomen met de locatie van de compensatiegebieden zoals deze tegenwoordig worden voorzien. Hieronder wordt per deelgebied een aanbeveling gedaan.

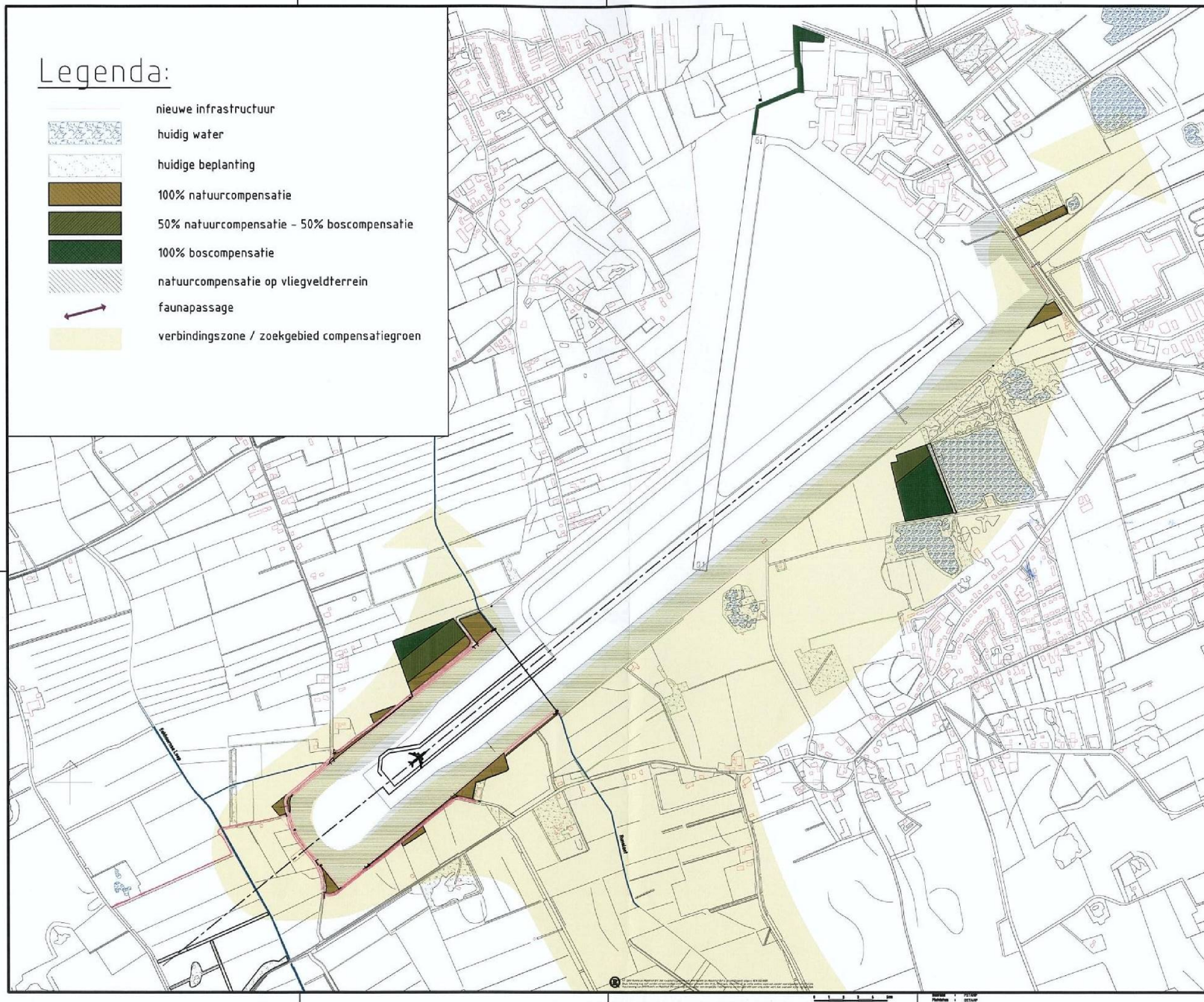
- Deelgebied A: twee deels intacte boringen onder ophogingslagen van het vliegveld. Verder zwaar verstoord. Geen verder onderzoek.
- Deelgebied B: Niet onderzocht, omdat hiervan bekend is dat hier ontgraving tot 4 m –mv heeft plaatsgevonden.
- Deelgebied C: nagenoeg geheel verstoorde bodem.
- Deelgebied D: nagenoeg geheel verstoorde bodem, maar bewerkt vuursteen uit oppervlaktekartering. In overleg met mw. A. Mars van het Drents Plateau is besloten dat deze vuursteenresten niet voldoende reden zijn om verder onderzoek naar deze periode te legitimeren. In veel boringen is nog herkenbaar dat ter plaatse oorspronkelijk een podzolbodem aanwezig is geweest. Dit is een indicatie dat de verstoring relatief ondiep de C-horizont ingaat. Hiermee zouden grondsporen van na de Bronstijd bewaard gebleven kunnen zijn. Omdat uit deze periode slechts één vondst gedaan is (een kogelpotscherf) en uit

het bureauonderzoek blijkt dat in de directe omgeving nauwelijks materiaal uit deze periode gevonden is, wordt deze kans klein geacht. Desalniettemin wordt aanbevolen de verstoring ter plaatse beperkt te houden tot de dikte van de bouwvoor (35 cm). Bij eventuele werkzaamheden op de nabijgelegen es moet rekening gehouden worden met beter bewaard gebleven steentijdresten onder het esdek.

- Deelgebied E: geheel verstoorde bodem. Geen verder onderzoek.
- Deelgebied F: niet onderzocht, omdat in een later stadium is beslist dat dit terrein geen deel zal uitmaken van de compensatiegebieden.
- Deelgebied G: geheel verstoorde bodem. Geen verder onderzoek.
- Deelgebied H: geheel verstoorde bodem. Geen verder onderzoek.
- Deelgebied I-2: geheel verstoorde bodem. Geen verder onderzoek. Aangezien in de directe omgeving in alle percelen de bodem lijkt te zijn verstoord, lijkt het niet noodzakelijk het terreindeel I-1 verder te onderzoeken.
- Deelgebied J: geheel verstoorde bodem. Geen verder onderzoek.
- Deelgebied K: geheel verstoorde bodem. Geen verder onderzoek.
- Deelgebied L: geheel verstoorde bodem. Geen verder onderzoek. Wel verdient het aanbeveling de als een sterke welving of lage heuvel zichtbare zandkop in de zuidwesthoek van het plangebied de beschermen als ‘aardkundige waarde’.
- Deelgebied M: in een deel van dit traject werd tussen de boorpunten 315 – 318 een duidelijke B-horizont van een veldpodzol aangetroffen. Conform de normen gesteld door de provincie Drenthe wijst dit mogelijk op de aanwezigheid van archeologische resten. Omdat de top van het veldpodzol niet is aangetroffen, is er geen hoge verwachting resten uit de vroege prehistorie aan te treffen, maar wel uit de latere prehistorie. Er zijn in de omgeving van de onderzoekslocatie echter weinig of geen waarnemingen bekend van archeologische resten. De kans om met karterend onderzoek resten uit de latere prehistorie aan te treffen is niet groot. De gemiddelde vondstdichtheid op een laatprehistorische nederzetting is gering, waardoor de kans hiervan resten in de boorkernen aan te treffen ook niet groot is. Tevens is het vrijwel onmogelijk om sporen van structuren zoals huizen, kuilen of greppels te herkennen. Gezien de resultaten van het onderzoek in de andere, naastgelegen deelgebieden wordt de kans niet erg groot geacht in dit traject van 150 m nog veel archeologische van waarde aan te treffen. Na overleg met de opdrachtgever en het bevoegd gezag is afgezien van verder onderzoek omdat hier alleen een sloot zal worden gegraven. De verstoring lijkt daarom minimaal.

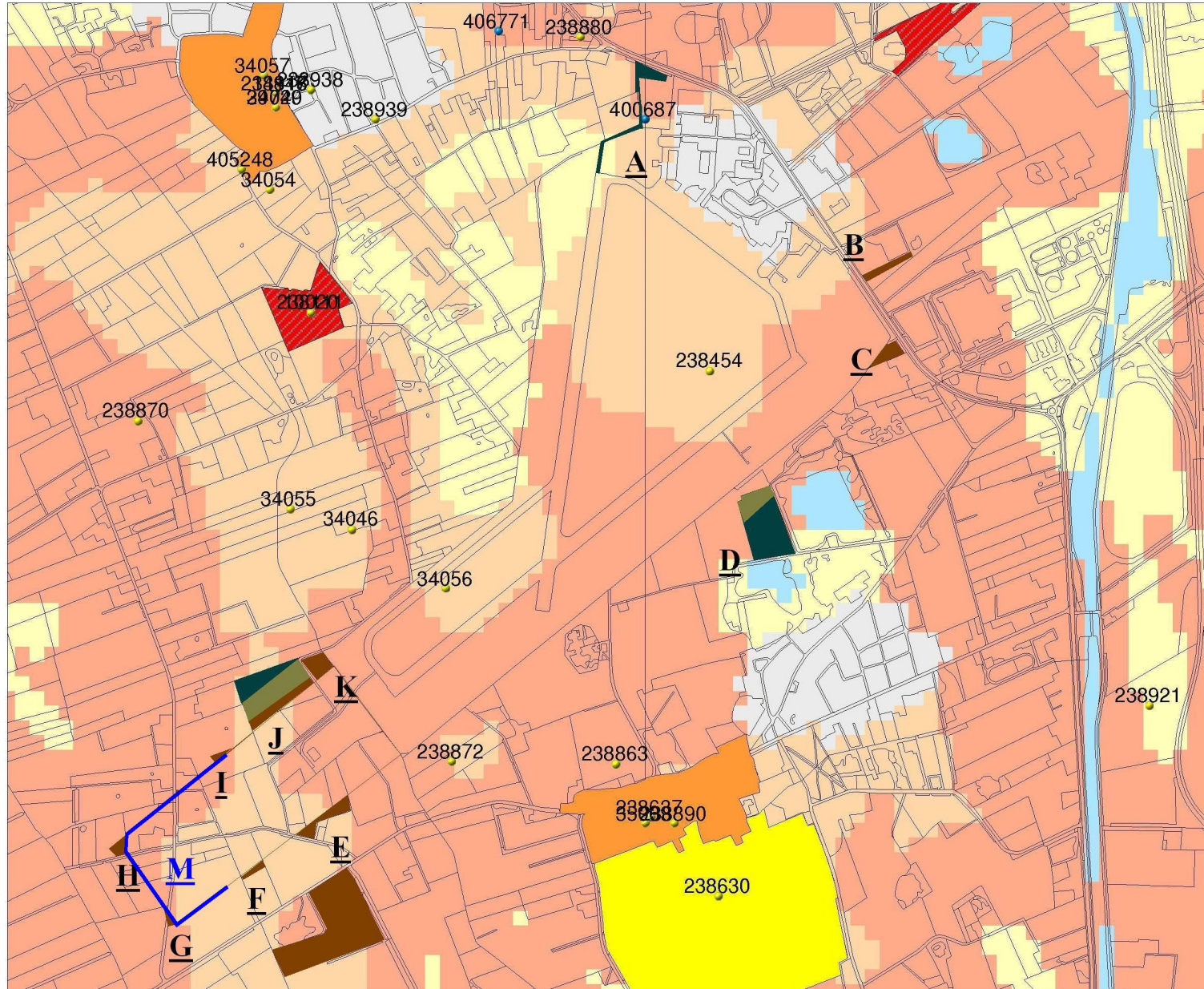
Wanneer bij de uitvoering onverhoopt grondsporen en/of vondsten worden aangetroffen, dient hiervan direct melding te worden gemaakt bij de provinciaal archeoloog, dr. W.A.B. van der Sanden.⁸

⁸Drents Plateau, Stationsstraat 11, 9401 KV Assen (tel. 0592-305932, mobiel 06-22662601; w.sanden@drentsplateau.nl).



Afbeelding 6. Overzicht van de natuur- en boscompensatieterreinen. Bron: DHV.

236950 / 572795



Legenda

- VONDSMELDINGEN
 - WAARNEMINGEN
- MONUMENTEN**
- archeologische betekenis
 - archeologische waarde
 - hoge archeologische waarde
 - zeer hoge archeologische waarde
 - zeer hoge arch waarde, beschermd
 - TOP10 ((c)TDN)
- IKAW**
- zeer lage trefkans
 - lage trefkans
 - middelhoge trefkans
 - hoge trefkans
 - lage trefkans (water)
 - middelhoge trefkans (water)
 - hoge trefkans (water)
 - water
 - niet gekarteerd



Archis2

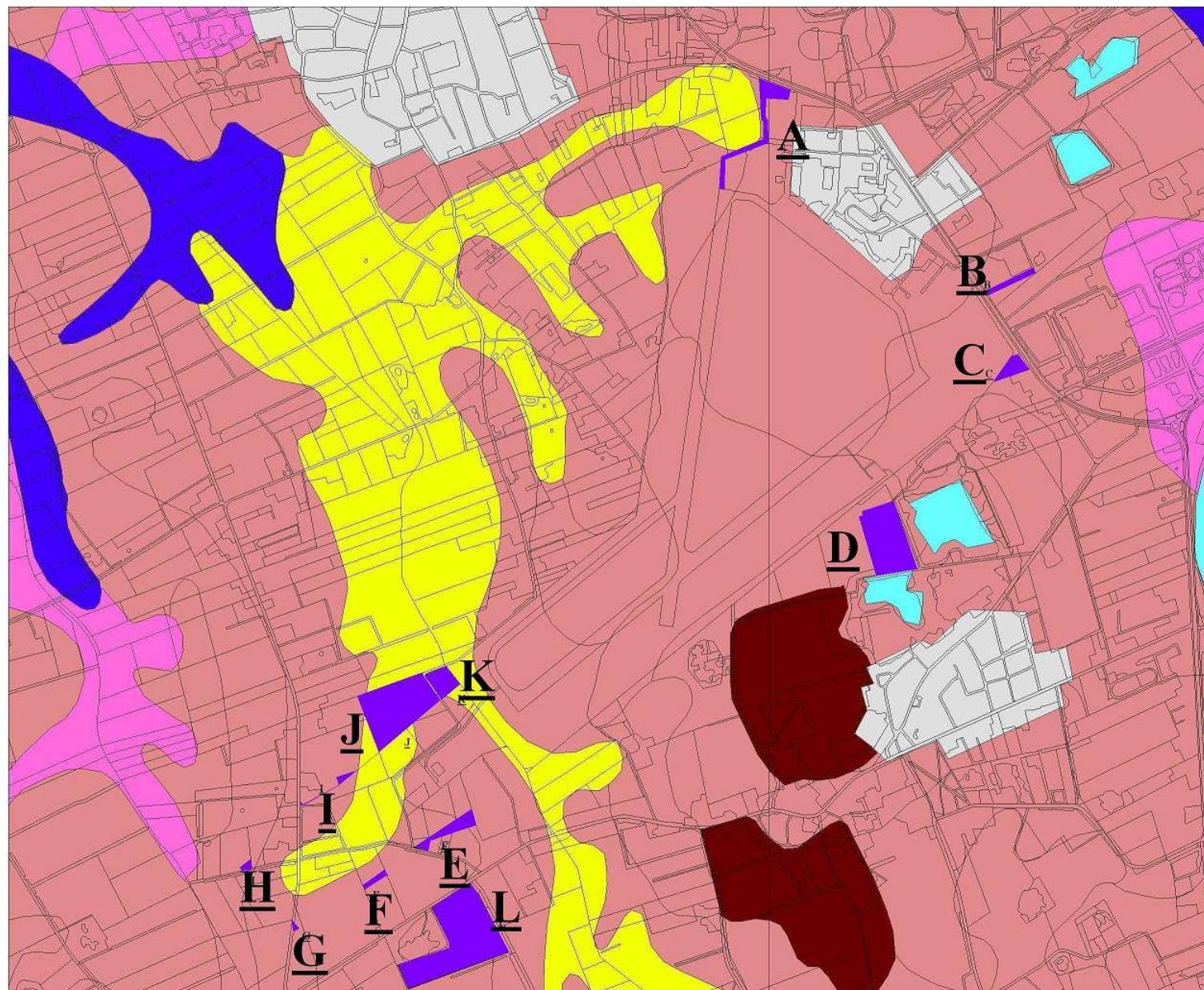
rijksdienst voor
archeologie,
cultuurlandschap
en monumenten



232825 / 569425

Afbeelding 7. Archeologische waarden in de omgeving van de verschillende onderzoekslocaties (paars of blauw). Bron: Rijksdienst voor Archeologie, Cultuurlandschap en Monumenten (RACM)/Archis II.

236529 / 572837



Legenda

TOP10 ((c)TDN)

BODEM ((c)Alterra)

- Associaties
- Brikgronden
- Bebouwing
- Dijk, bovenlandstrook
- Dikke eerdgronden
- Fluviatile afz ouder pleistoceen
- Groeve, gegraven, mijnstort
- Kalksteenverweringsgronden
- Oude rivierkleigronden
- Overige oude kleigronden
- Ondiepe keileemgronden
- Leemgronden
- Zeekleigronden
- Mariene afz ouder pleistoceen
- Niet-gerijpte minerale gronden
- Oude bewoningsplaatsen
- Rivierkleigronden
- Kalk lutumarme gronden
- Veengronden
- Moerige gronden
- Water, moeras
- Podzolgronden
- Kalkloze zandgronden
- Kalkhoudende zandgronden

0 1 km



N

Archis2

rijksdienst voor
archeologie,
cultuurlandschap
en monumenten

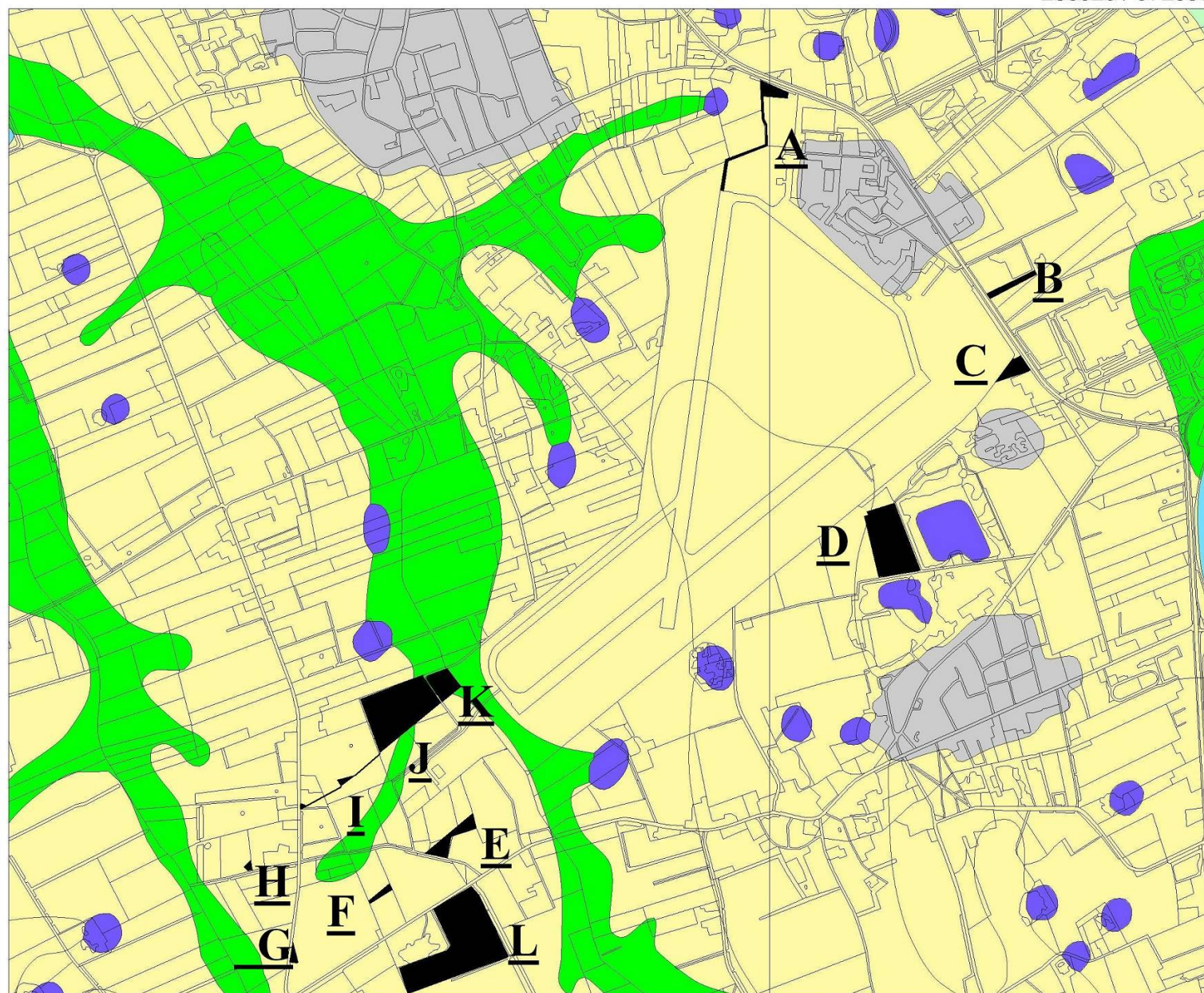


ONDER
N
S
T
R
A
L
T
U
R
N
E
R
F
S
C
H
A
P

232403 / 569467

Afbeelding 8. Bodemkaart van de onderzoekslocaties (paars) en omgeving. Bron: Rijksdienst voor Archeologie, Cultuurlandschap en Monumenten (RACM)/Archis II.

236529 / 572837



Legenda

□ TOP10 ((c)TDN)

GEOMORFOLOGIE ((c)Alterra)

- Wanden
- Hoge heuvels en ruggen
- Terpen
- Hoge duinen
- Plateaus
- Terrassen
- Plateau-achtige vormen
- Waaivormige glooiingen
- Niet-waaivormige glooiingen
- Lage ruggen en heuvels
- Welvingen
- Vlakten
- Laagten
- Ondiepe dalen
- Matig diepe dalen
- Diepe dalen
- Water
- Bebouwing
- Overig (Dijken etc)

0 1 km



Archis2

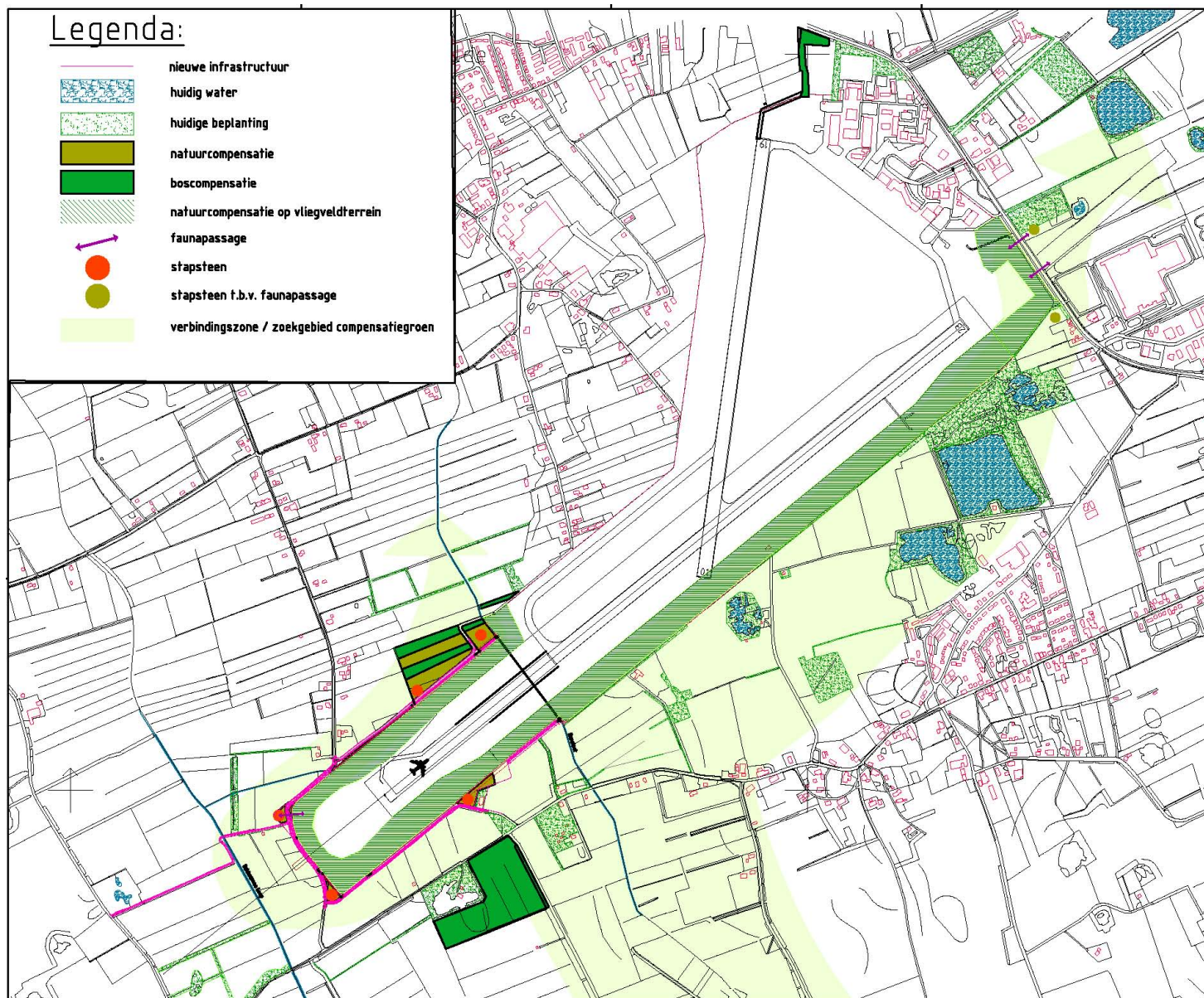
rijksdienst voor
archeologie,
cultuurlandschap
en monumenten



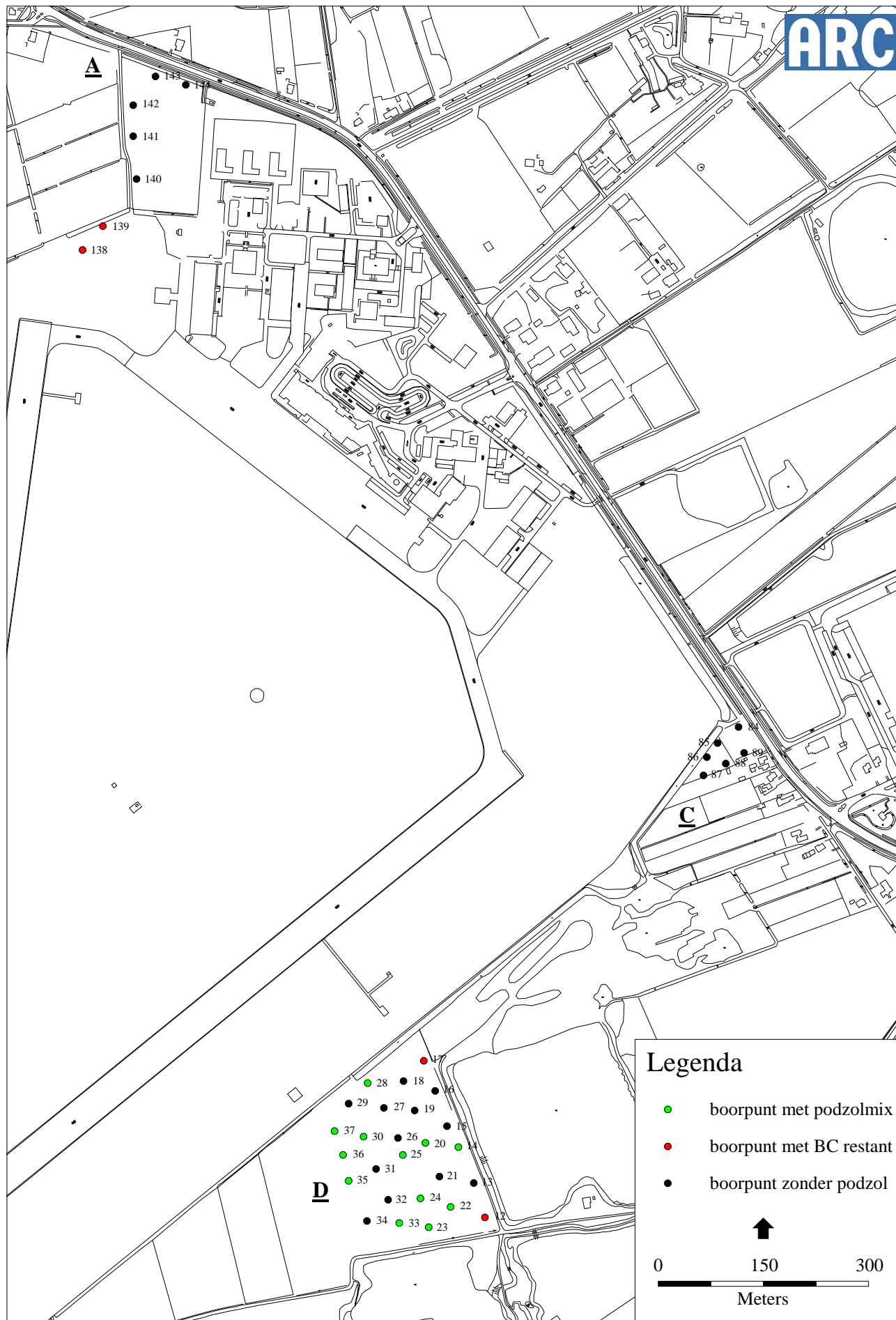
ONDER
NOSSEM
LTUUR
NIEER
SCHAP

232403 / 569467

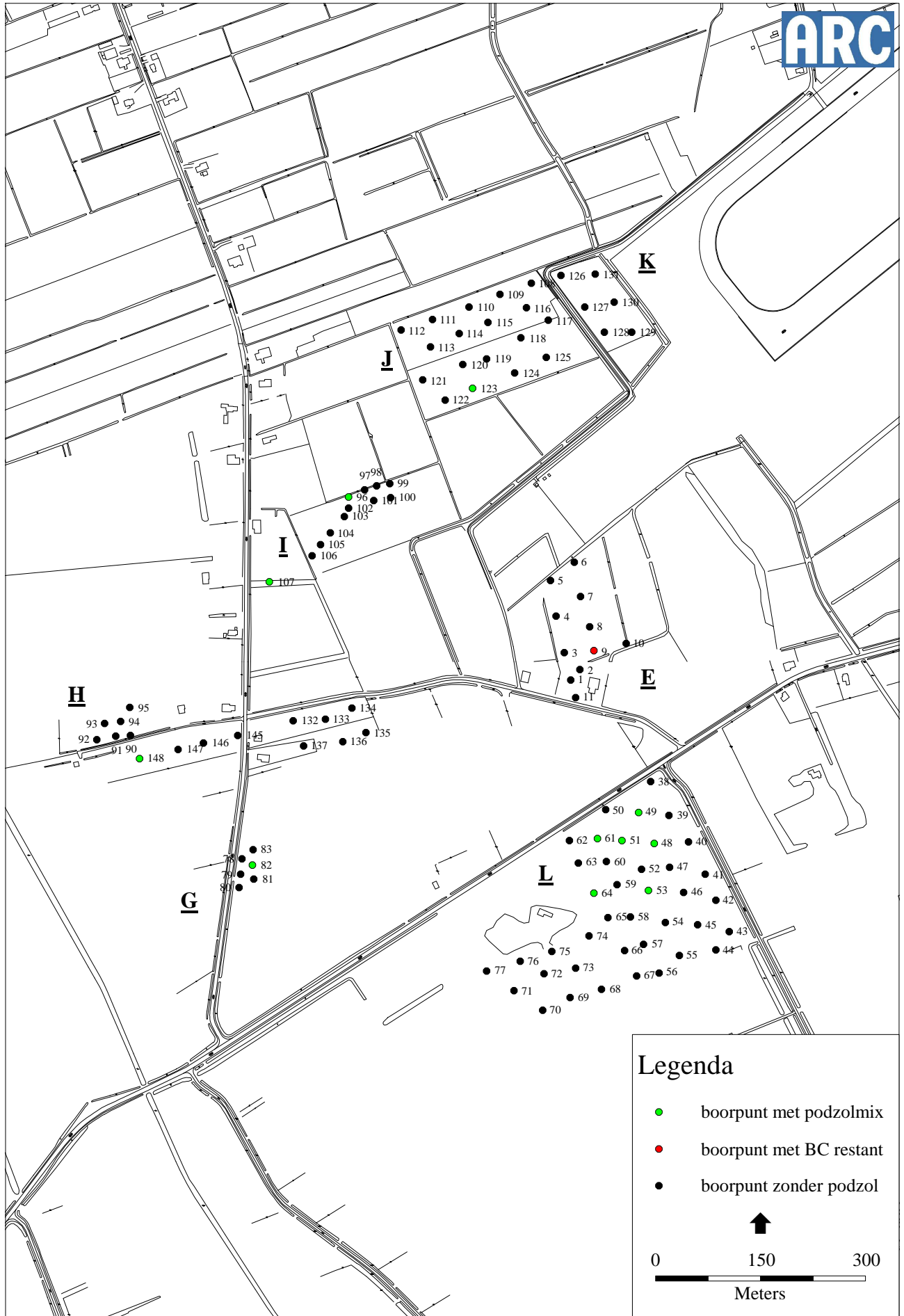
Afbeelding 9. Geomorfologische kaart van de onderzoekslocaties (zwart) en omgeving. Bron: Rijksdienst voor Archeologie, Cultuurlandschap en Monumenten (RACM)/Archis II.



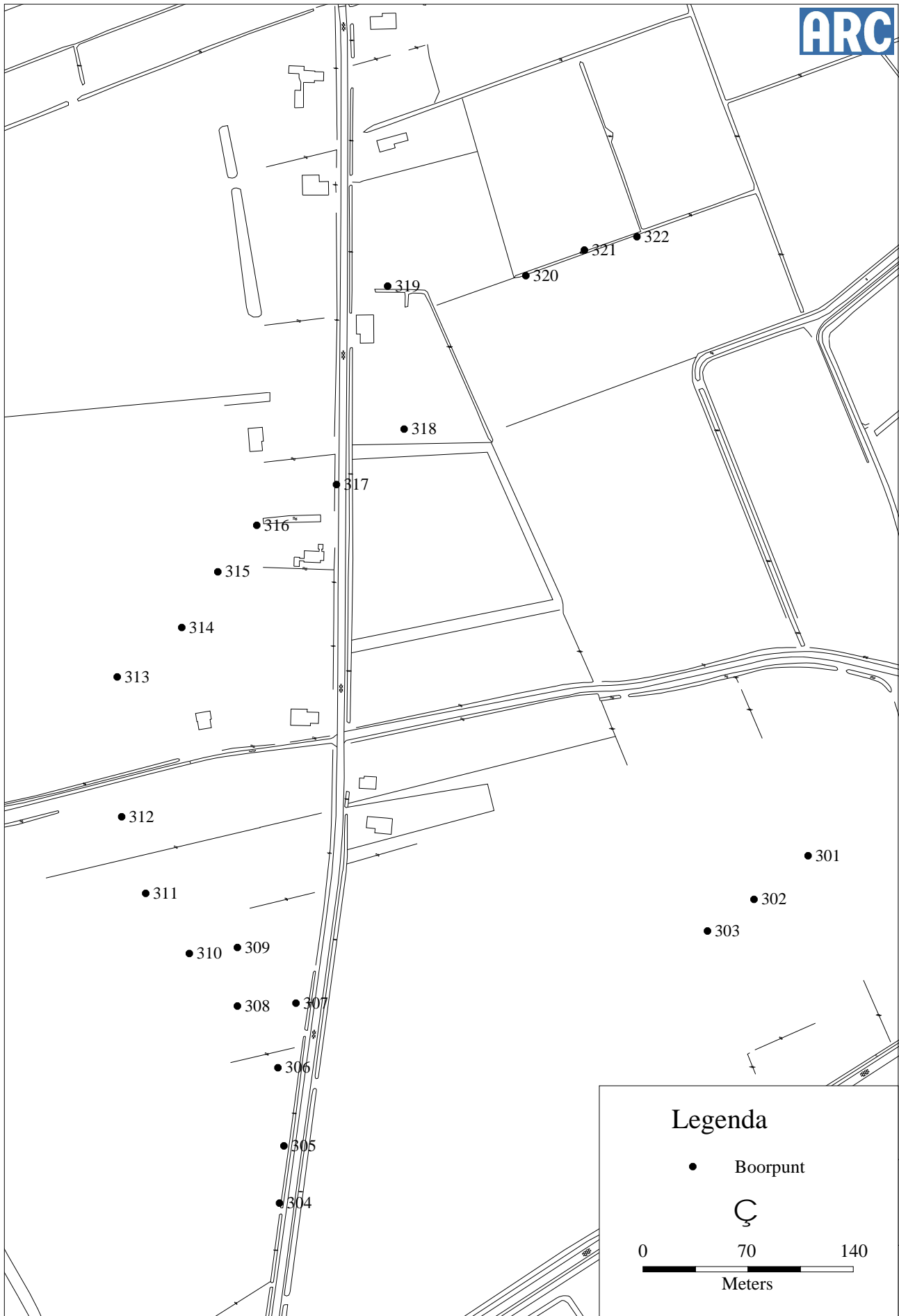
Afbeelding 11. Overzicht van de locatie van de compensatiegebieden volgens de meest recente planning (januari 2010). Bron: Rijksdienst voor Archeologie, Cultuurlandschap en Monumenten (RACM)/Archis II.



Afbeelding 12. Overzicht van de boringen in de deelgebieden A, C en D.



Afbeelding 13. Overzicht van de boringen in de deelgebieden E, G, H, I-2, J, K en L.



Afbeelding 14. Overzicht van de boringen in deelgebied/traject M.

Literatuur

- Berendsen, H.J.A., 2004. *De vorming van het land*. Assen (Fysische geografie van Nederland). Vierde, geheel herziene druk.
- Berendsen, H.J.A., 2005. *Landschappelijk Nederland. De fysisch-geografische regio's*. Assen.
- Brandt, R.W. et al. (red.), 1992. *ARCHIS. Archeologisch Basis Register, versie 1.0*. Amersfoort.
- Essink, M., 2003. *Een tweede archeologisch inventariserend veldonderzoek (IVO) door middel van een bureauonderzoek en boringen op het cargoterrein van Groningen Airport Eelde, gemeente Tynaarlo (Dr.)*. Groningen (ARC-Rapporten 2003-36 = ARC-Publicaties 91).
- Huis in 't Veld, J.Y., 2003. *Een archeologisch inventariserend veldonderzoek (IVO) door middel van bureauonderzoek en boringen op het terrein van de baanverlenging te Groningen Airport Eelde, gemeente Tynaarlo (Dr.)*. Groningen (ARC-Rapporten 2003-35 = ARC-Publicaties 91).
- Malssen, N. van & M. Schepers, 2008. *Een archeologisch bureau-onderzoek en inventariserend veldonderzoek door middel van boringen voor het project Compensatieplan Groningen Airport Eelde, gemeente Tynaarlo (Dr.)*. Groningen (ARC-Rapporten 2008-96).
- Mulder, E.F.J. de et al., 2003. *De ondergrond van Nederland*. Groningen/Houten.
- Spek, T., 2004. *Het Drentse esdorpenlandschap. Een historisch geografische studie*. Utrecht.
- Tuinstra, S.J. & A. Wieringa, 2006. *Een archeologisch inventariserend veldonderzoek (IVO) door middel van proefsleuven op Groningen Airport Eelde, gemeente Tynaarlo (Dr.)*. Groningen (ARC-Rapporten 2006-14).
- Versfelt, H.J. & M. Schroor, 2005. *De atlas van Huguenin. Militair-topografische kaarten van Noord-Nederland 1819–1829*. Groningen.
- Wit, M.J.M. de, 2006. *Een archeologische opgraving op het terrein van de toekomstige baanverlenging te Groningen Airport Eelde, gemeente Tynaarlo (Dr.)*. Groningen (ARC-Rapporten 2006-67).

Bijlage 1 Boorstaten

| | |
|-------------------------------|--------------------------------|
| Locatiebepaling | gemeten, GPS |
| Referentievlak | Normaal Amsterdams Peil |
| Maaiveldhoogtebepaling | geschat, actueel hoogtebestand |
| Nauwkeurigheid maaiveldhoogte | 0 cm |

De volgende afkortingen worden in de boorstaten gebruikt.

| | | | |
|-----------------------------------|--------------|----------------------------------|---------------|
| grondsoort (onderdeel lithologie) | | z3 | sterk zandig |
| K | klei | | |
| L | leem | grind (onderdeel van lithologie) | |
| PUI | puin | g1 | zwak grindig |
| V | veen | g2 | matig grindig |
| Z | zand | | |
| bijmengsel (onderdeel lithologie) | | humus (onderdeel lithologie) | |
| km | mineraalarm | h1 | zwak humeus |
| s1 | zwak siltig | h2 | matig humeus |
| s3 | sterk siltig | h3 | sterk humeus |
| z1 | zwak zandig | | |

boring 1 RD-X: 233.858. RD-Y: 569.974. Boormethode: edelmanboring.

| diepte lithologie | kleur | grens | |
|-------------------|--------------|-------------|---|
| 50 Zs1h2 | donker bruin | geleidelijk | Vlekken: matig gevlekt, licht geel. <i>Bodemkundige interpretaties:</i> bouwvoor. |
| 80 Zs1 | geel | beëindigd | <i>Bodemhorizont:</i> C. <i>Nieuwvormingen:</i> roestvlekken, weinig. <i>Geologische interpretaties:</i> dekzand. |

boring 2 RD-X: 233.871. RD-Y: 569.989. Boormethode: edelmanboring.

| diepte lithologie | kleur | grens | |
|-------------------|--------------|-----------|--|
| 30 Zs1h2 | donker bruin | scherp | <i>Bodemkundige interpretaties:</i> bouwvoor. |
| 45 Vkm | donker bruin | scherp | <i>Veen amorfiteit:</i> matig amorf. <i>Consistentie:</i> stevig. |
| 80 Zs1 | geel | beëindigd | <i>Bodemhorizont:</i> C. <i>Nieuwvormingen:</i> roestvlekken, spoor. <i>Geologische interpretaties:</i> dekzand. |

boring 3 RD-X: 233.849. RD-Y: 570.013. Boormethode: edelmanboring.

| diepte lithologie | kleur | grens | |
|-------------------|-------------|-------------|---|
| 25 Zs1h1 | bruingrijs | geleidelijk | <i>Bodemkundige interpretaties:</i> bouwvoor. |
| 60 Zs1 | donker geel | beëindigd | <i>Bodemhorizont:</i> C. <i>Geologische interpretaties:</i> dekzand. <i>Opmerkingen:</i> foto 91. |

boring 4 RD-X: 233.837. RD-Y: 570.065. Boormethode: edelmanboring.

| diepte lithologie | kleur | grens | |
|-------------------|--------------|-------------|--|
| 25 Zs1h1 | donker bruin | geleidelijk | <i>Bodemkundige interpretaties:</i> bouwvoor. |
| 70 Zs1 | geel | geleidelijk | <i>Bodemhorizont:</i> C. <i>Nieuwvormingen:</i> roestvlekken, weinig. <i>Geologische interpretaties:</i> dekzand. <i>Opmerkingen:</i> foto 91. |
| 80 Zs1 | witgeel | beëindigd | <i>Zandmediaanklasse:</i> matig grof. <i>Nieuwvormingen:</i> roestvlekken, spoor. <i>Geologische interpretaties:</i> keizand. |

| | | | |
|--|--------------|--------------|---|
| boring 5 RD-X: 233.829. RD-Y: 570.116. Boormethode: edelmanboring. | | | |
| <i>diepte lithologie</i> | <i>kleur</i> | <i>grens</i> | |
| 25 Zs1h2 | donker bruin | scherp | <i>Bodemkundige interpretaties:</i> bouwvoor. |
| 70 Zs1 | licht geel | beëindigd | <i>Bodemhorizont:</i> C. <i>Nieuwvormingen:</i> roestvlekken, spoor. <i>Geologische interpretaties:</i> dekzand. <i>Opmerkingen:</i> foto 91. |
| boring 6 RD-X: 233.863. RD-Y: 570.142. Boormethode: edelmanboring. | | | |
| <i>diepte lithologie</i> | <i>kleur</i> | <i>grens</i> | |
| 35 Zs1h2 | donker bruin | geleidelijk | <i>Bodemkundige interpretaties:</i> bouwvoor. |
| 45 Zs1 | geelbruin | scherp | <i>Vlekken:</i> sterk gevlekt, grijs. <i>Bodemkundige interpretaties:</i> rommelig. <i>Opmerkingen:</i> foto 92. |
| 75 Zs1 | geel | beëindigd | <i>Bodemhorizont:</i> C. <i>Geologische interpretaties:</i> dekzand. |
| boring 7 RD-X: 233.872. RD-Y: 570.093. Boormethode: edelmanboring. | | | |
| <i>diepte lithologie</i> | <i>kleur</i> | <i>grens</i> | |
| 35 Zs1h2 | donker bruin | scherp | <i>Bodemkundige interpretaties:</i> bouwvoor. |
| 65 Zs1 | geel | beëindigd | <i>Bodemhorizont:</i> C. <i>Nieuwvormingen:</i> roestvlekken, spoor. <i>Geologische interpretaties:</i> dekzand. |
| boring 8 RD-X: 233.885. RD-Y: 570.050. Boormethode: edelmanboring. | | | |
| <i>diepte lithologie</i> | <i>kleur</i> | <i>grens</i> | |
| 35 Zs1h2 | donker bruin | scherp | <i>Bodemkundige interpretaties:</i> bouwvoor. |
| 75 Zs1 | geel | beëindigd | <i>Bodemhorizont:</i> C. <i>Nieuwvormingen:</i> roestvlekken, spoor. <i>Geologische interpretaties:</i> dekzand. |
| boring 9 RD-X: 233.891. RD-Y: 570.016. Boormethode: edelmanboring. | | | |
| <i>diepte lithologie</i> | <i>kleur</i> | <i>grens</i> | |
| 15 Zs1h3 | donker bruin | scherp | <i>Vlekken:</i> licht gevlekt, grijs. <i>Bodemkundige interpretaties:</i> bouwvoor. |
| 65 Zs1g1 | bruingeel | geleidelijk | <i>Bodemhorizont:</i> BC. <i>Geologische interpretaties:</i> dekzand. <i>Opmerkingen:</i> foto 93. |
| 80 Zs1g1 | geel | beëindigd | <i>Bodemhorizont:</i> C. <i>Geologische interpretaties:</i> dekzand. |
| boring 10 RD-X: 233.937. RD-Y: 570.026. Boormethode: edelmanboring. | | | |
| <i>diepte lithologie</i> | <i>kleur</i> | <i>grens</i> | |
| 30 Zs1h2 | donker bruin | scherp | <i>Vlekken:</i> licht gevlekt, grijs. <i>Bodemkundige interpretaties:</i> bouwvoor. |
| 95 Vkm | donker bruin | scherp | <i>Veen amorfiteit:</i> matig amorf. <i>Consistentie:</i> stevig. |
| 110 Zs1 | licht geel | beëindigd | <i>Bodemhorizont:</i> C. <i>Geologische interpretaties:</i> dekzand. |
| boring 11 RD-X: 233.865. RD-Y: 569.949. Boormethode: edelmanboring. | | | |
| <i>diepte lithologie</i> | <i>kleur</i> | <i>grens</i> | |
| 40 Zs1 | donker bruin | geleidelijk | <i>Bodemkundige interpretaties:</i> bouwvoor. |
| 70 Zs1 | geel | beëindigd | <i>Bodemhorizont:</i> C. <i>Nieuwvormingen:</i> roestvlekken, spoor. <i>Geologische interpretaties:</i> dekzand. |
| boring 12 RD-X: 235.493. RD-Y: 570.937. Boormethode: edelmanboring. | | | |
| <i>diepte lithologie</i> | <i>kleur</i> | <i>grens</i> | |
| 30 Zs1h1 | grijsbruin | geleidelijk | <i>Bodemkundige interpretaties:</i> bouwvoor. |
| 40 Zs1 | geelbruin | geleidelijk | <i>Bodemhorizont:</i> BC. <i>Vlekken:</i> licht gevlekt, rood. <i>Geologische interpretaties:</i> dekzand. <i>Opmerkingen:</i> rommelig. |
| 80 Zs1 | licht geel | beëindigd | <i>Bodemhorizont:</i> C. <i>Geologische interpretaties:</i> dekzand. |

boring 13 RD-X: 235.477. RD-Y: 570.986. Boormethode: edelmanboring.

| diepte lithologie | kleur | grens | |
|-------------------|------------|-------------|---|
| 40 Zs1h1 | grijsbruin | geleidelijk | Bodemkundige interpretaties: bouwvoor. |
| 80 Zs1g1 | licht geel | beëindigd | Bodemhorizont: C. Nieuwvormingen: roestvlekken, spoor. Geologische interpretaties: dekzand. |

boring 14 RD-X: 235.455. RD-Y: 571.037. Boormethode: edelmanboring.

| diepte lithologie | kleur | grens | |
|-------------------|------------|-------------|---|
| 30 Zs1h1 | grijsbruin | geleidelijk | Bodemkundige interpretaties: bouwvoor. |
| 40 Zs1 | geelbruin | geleidelijk | Vlekken: licht gevlekt, rood. Geologische interpretaties: dekzand. Bodemkundige interpretaties: rommelig. Opmerkingen: podzolmix foto 94. |
| 80 Zs1g1 | licht geel | beëindigd | Bodemhorizont: C. Nieuwvormingen: roestvlekken, spoor. Geologische interpretaties: dekzand. |

boring 15 RD-X: 235.439. RD-Y: 571.067. Boormethode: edelmanboring.

| diepte lithologie | kleur | grens | |
|-------------------|------------|-------------|---|
| 35 Zs1h1 | grijsbruin | geleidelijk | Bodemkundige interpretaties: bouwvoor. |
| 80 Zs1g1 | licht geel | beëindigd | Bodemhorizont: C. Nieuwvormingen: roestvlekken, spoor. Geologische interpretaties: dekzand. |

boring 16 RD-X: 235.422. RD-Y: 571.117. Boormethode: edelmanboring.

| diepte lithologie | kleur | grens | |
|-------------------|------------|-------------|---|
| 35 Zs1h1 | grijsbruin | geleidelijk | Bodemkundige interpretaties: bouwvoor. |
| 80 Zs1g1 | licht geel | beëindigd | Bodemhorizont: C. Nieuwvormingen: roestvlekken, spoor. Geologische interpretaties: dekzand. |

boring 17 RD-X: 235.406. RD-Y: 571.160. Boormethode: edelmanboring.

| diepte lithologie | kleur | grens | |
|-------------------|------------|-------------|--|
| 40 Zs1h1 | grijsbruin | geleidelijk | Bodemkundige interpretaties: bouwvoor. |
| 65 Zs1 | bruinrood | geleidelijk | Bodemhorizont: B. Vlekken: matig gevlekt, licht zwart. Geologische interpretaties: dekzand. Opmerkingen: rommelig. |
| 75 Zs1 | oranjegeel | geleidelijk | Bodemhorizont: BC. Geologische interpretaties: dekzand. |
| 100 Zs1 | geel | beëindigd | Bodemhorizont: C. Geologische interpretaties: dekzand. |

boring 18 RD-X: 235.377. RD-Y: 571.131. Boormethode: edelmanboring.

| diepte lithologie | kleur | grens | |
|-------------------|------------|-----------|--|
| 50 Zs1h1 | grijsbruin | scherp | Vlekken: matig gevlekt, geel. Bodemkundige interpretaties: bouwvoor. |
| 100 Zs1 | geel | beëindigd | Bodemhorizont: C. Geologische interpretaties: dekzand. |

boring 19 RD-X: 235.393. RD-Y: 571.089. Boormethode: edelmanboring.

| diepte lithologie | kleur | grens | |
|-------------------|------------|-----------|--|
| 45 Zs1h1 | grijsbruin | scherp | Bodemkundige interpretaties: bouwvoor. |
| 75 Zs1 | geel | beëindigd | Bodemhorizont: C. Geologische interpretaties: dekzand. |

boring 20 RD-X: 235.408. RD-Y: 571.043. Boormethode: edelmanboring.

| diepte lithologie | kleur | grens | |
|-------------------|------------|-------------|---|
| 45 Zs1h1 | grijsbruin | scherp | Bodemkundige interpretaties: bouwvoor. |
| 55 Zs1 | geelbruin | geleidelijk | Vlekken: licht gevlekt, rood. Geologische interpretaties: dekzand. Bodemkundige interpretaties: rommelig. Opmerkingen: podzolmix. |
| 75 Zs1 | geel | beëindigd | Bodemhorizont: C. Geologische interpretaties: dekzand. |

| | | | |
|--|--------------|--------------|--|
| boring 21 RD-X: 235.428. RD-Y: 570.995. Boormethode: edelmanboring. | | | |
| <i>diepte lithologie</i> | <i>kleur</i> | <i>grens</i> | |
| 45 Zs1h1 | grijsbruin | scherp | <i>Bodemkundige interpretaties:</i> bouwvoor. |
| 70 Zs1 | geel | geleidelijk | <i>Vlekken:</i> sterk gevlekt, donker bruin. <i>Geologische interpretaties:</i> dekszand. <i>Bodemkundige interpretaties:</i> rommelig. <i>Opmerkingen:</i> mixlaag bouwvoor en c-horizont. |
| 90 Zs1 | geel | beëindigd | <i>Bodemhorizont:</i> C. <i>Geologische interpretaties:</i> dekszand. |
| boring 22 RD-X: 235.444. RD-Y: 570.952. Boormethode: edelmanboring. | | | |
| <i>diepte lithologie</i> | <i>kleur</i> | <i>grens</i> | |
| 35 Zs1h1 | grijsbruin | scherp | <i>Bodemkundige interpretaties:</i> bouwvoor. |
| 45 Zs1 | geel | geleidelijk | <i>Vlekken:</i> sterk gevlekt, donker bruin. <i>Geologische interpretaties:</i> dekszand. <i>Bodemkundige interpretaties:</i> rommelig. <i>Opmerkingen:</i> podzolmix. |
| 75 Zs1 | geel | beëindigd | <i>Bodemhorizont:</i> C. <i>Geologische interpretaties:</i> dekszand. |
| boring 23 RD-X: 235.413. RD-Y: 570.923. Boormethode: edelmanboring. | | | |
| <i>diepte lithologie</i> | <i>kleur</i> | <i>grens</i> | |
| 35 Zs1h1 | grijsbruin | scherp | <i>Bodemkundige interpretaties:</i> bouwvoor. |
| 50 Zs1 | bruin | geleidelijk | <i>Vlekken:</i> sterk gevlekt, donker bruin. <i>Geologische interpretaties:</i> dekszand. <i>Bodemkundige interpretaties:</i> rommelig. <i>Opmerkingen:</i> podzolmix. |
| 75 Zs1 | geel | beëindigd | <i>Bodemhorizont:</i> C. <i>Geologische interpretaties:</i> dekszand. |
| boring 24 RD-X: 235.401. RD-Y: 570.964. Boormethode: edelmanboring. | | | |
| <i>diepte lithologie</i> | <i>kleur</i> | <i>grens</i> | |
| 35 Zs1h1 | grijsbruin | scherp | <i>Bodemkundige interpretaties:</i> bouwvoor. |
| 50 Zs1 | bruin | geleidelijk | <i>Vlekken:</i> sterk gevlekt, donker bruin. <i>Geologische interpretaties:</i> dekszand. <i>Bodemkundige interpretaties:</i> rommelig. <i>Opmerkingen:</i> podzolmix. |
| 75 Zs1 | geel | beëindigd | <i>Bodemhorizont:</i> C. <i>Geologische interpretaties:</i> dekszand. |
| boring 25 RD-X: 235.376. RD-Y: 571.026. Boormethode: edelmanboring. | | | |
| <i>diepte lithologie</i> | <i>kleur</i> | <i>grens</i> | |
| 30 Zs1h1 | grijsbruin | scherp | <i>Bodemkundige interpretaties:</i> bouwvoor. |
| 50 Zs1 | bruin | geleidelijk | <i>Vlekken:</i> sterk gevlekt, donker bruin. <i>Geologische interpretaties:</i> dekszand. <i>Bodemkundige interpretaties:</i> rommelig. <i>Opmerkingen:</i> podzolmix. |
| 75 Zs1 | geel | beëindigd | <i>Bodemhorizont:</i> C. <i>Geologische interpretaties:</i> dekszand. |
| boring 26 RD-X: 235.369. RD-Y: 571.050. Boormethode: edelmanboring. | | | |
| <i>diepte lithologie</i> | <i>kleur</i> | <i>grens</i> | |
| 30 Zs1h1 | grijsbruin | scherp | <i>Bodemkundige interpretaties:</i> bouwvoor. |
| 75 Zs1 | geel | beëindigd | <i>Bodemhorizont:</i> C. <i>Geologische interpretaties:</i> dekszand. |
| boring 27 RD-X: 235.349. RD-Y: 571.093. Boormethode: edelmanboring. | | | |
| <i>diepte lithologie</i> | <i>kleur</i> | <i>grens</i> | |
| 30 Zs1h1 | grijsbruin | scherp | <i>Bodemkundige interpretaties:</i> bouwvoor. |
| 75 Zs1 | geel | beëindigd | <i>Bodemhorizont:</i> C. <i>Geologische interpretaties:</i> dekszand. |
| boring 28 RD-X: 235.326. RD-Y: 571.128. Boormethode: edelmanboring. | | | |
| <i>diepte lithologie</i> | <i>kleur</i> | <i>grens</i> | |
| 50 Zs1h1 | grijsbruin | scherp | <i>Bodemkundige interpretaties:</i> bouwvoor. |
| 65 Zs1 | bruin | geleidelijk | <i>Vlekken:</i> sterk gevlekt, donker bruin. <i>Geologische interpretaties:</i> dekszand. <i>Bodemkundige interpretaties:</i> rommelig. <i>Opmerkingen:</i> podzolmix. |
| 90 Zs1 | geel | beëindigd | <i>Bodemhorizont:</i> C. <i>Geologische interpretaties:</i> dekszand. |

| | | | |
|--------------------------|--|--------------|---|
| boring 29 | <i>RD-X: 235.299. RD-Y: 571.099. Boormethode: edelmanboring.</i> | | |
| <i>diepte lithologie</i> | <i>kleur</i> | <i>grens</i> | |
| 35 Zs1h1 | grijsbruin | geleidelijk | <i>Bodemkundige interpretaties: bouwvoor.</i> |
| 60 Zs1 | geel | beëindigd | <i>Bodemhorizont: C. Geologische interpretaties: dekszand.</i> |
| boring 30 | <i>RD-X: 235.320. RD-Y: 571.052. Boormethode: edelmanboring.</i> | | |
| <i>diepte lithologie</i> | <i>kleur</i> | <i>grens</i> | |
| 35 Zs1h1 | grijsbruin | geleidelijk | <i>Bodemkundige interpretaties: bouwvoor.</i> |
| 50 Zs1 | bruin | geleidelijk | <i>Vlekken: sterk gevlekt, donker bruin. Geologische interpretaties: dekszand. Bodemkundige interpretaties: rommelig. Opmerkingen: podzolmix.</i> |
| 60 Zs1 | geel | beëindigd | <i>Bodemhorizont: C. Geologische interpretaties: dekszand.</i> |
| boring 31 | <i>RD-X: 235.338. RD-Y: 571.006. Boormethode: edelmanboring.</i> | | |
| <i>diepte lithologie</i> | <i>kleur</i> | <i>grens</i> | |
| 35 Zs1h1 | grijsbruin | geleidelijk | <i>Bodemkundige interpretaties: bouwvoor.</i> |
| 60 Zs1 | geel | beëindigd | <i>Bodemhorizont: C. Geologische interpretaties: dekszand.</i> |
| boring 32 | <i>RD-X: 235.355. RD-Y: 570.962. Boormethode: edelmanboring.</i> | | |
| <i>diepte lithologie</i> | <i>kleur</i> | <i>grens</i> | |
| 25 Zs1h1 | grijsbruin | geleidelijk | <i>Bodemkundige interpretaties: bouwvoor.</i> |
| 55 Zs1 | geel | beëindigd | <i>Bodemhorizont: C. Geologische interpretaties: dekszand.</i> |
| boring 33 | <i>RD-X: 235.371. RD-Y: 570.929. Boormethode: edelmanboring.</i> | | |
| <i>diepte lithologie</i> | <i>kleur</i> | <i>grens</i> | |
| 35 Zs1h1 | grijsbruin | geleidelijk | <i>Bodemkundige interpretaties: bouwvoor.</i> |
| 45 Zs1 | bruin | geleidelijk | <i>Vlekken: sterk gevlekt, donker bruin. Geologische interpretaties: dekszand. Bodemkundige interpretaties: rommelig. Opmerkingen: podzolmix.</i> |
| 70 Zs1 | geel | beëindigd | <i>Bodemhorizont: C. Geologische interpretaties: dekszand.</i> |
| boring 34 | <i>RD-X: 235.325. RD-Y: 570.932. Boormethode: edelmanboring.</i> | | |
| <i>diepte lithologie</i> | <i>kleur</i> | <i>grens</i> | |
| 35 Zs1h1 | grijsbruin | geleidelijk | <i>Bodemkundige interpretaties: bouwvoor.</i> |
| 55 Zs1 | geel | geleidelijk | <i>Bodemhorizont: C. Vlekken: sterk gevlekt, licht zwart. Geologische interpretaties: dekszand. Opmerkingen: rommelig.</i> |
| 70 Zs1 | geel | beëindigd | <i>Bodemhorizont: C. Geologische interpretaties: dekszand.</i> |
| boring 35 | <i>RD-X: 235.299. RD-Y: 570.989. Boormethode: edelmanboring.</i> | | |
| <i>diepte lithologie</i> | <i>kleur</i> | <i>grens</i> | |
| 35 Zs1h1 | grijsbruin | geleidelijk | <i>Bodemkundige interpretaties: bouwvoor.</i> |
| 45 Zs1 | bruin | geleidelijk | <i>Vlekken: sterk gevlekt, donker bruin. Geologische interpretaties: dekszand. Bodemkundige interpretaties: rommelig. Opmerkingen: podzolmix.</i> |
| 70 Zs1 | geel | beëindigd | <i>Bodemhorizont: C. Geologische interpretaties: dekszand.</i> |
| boring 36 | <i>RD-X: 235.291. RD-Y: 571.026. Boormethode: edelmanboring.</i> | | |
| <i>diepte lithologie</i> | <i>kleur</i> | <i>grens</i> | |
| 40 Zs1h1 | grijsbruin | geleidelijk | <i>Bodemkundige interpretaties: bouwvoor.</i> |
| 55 Zs1 | bruin | geleidelijk | <i>Vlekken: sterk gevlekt, donker bruin. Geologische interpretaties: dekszand. Bodemkundige interpretaties: rommelig. Opmerkingen: podzolmix.</i> |
| 70 Zs1 | geel | beëindigd | <i>Bodemhorizont: C. Geologische interpretaties: dekszand.</i> |

| | | | |
|--------------------------|--|--------------|--|
| boring 37 | <i>RD-X: 235.279. RD-Y: 571.060. Boormethode: edelmanboring.</i> | | |
| <i>diepte lithologie</i> | <i>kleur</i> | <i>grens</i> | |
| 25 Zs1h1 | grijsbruin | geleidelijk | <i>Bodemkundige interpretaties: bouwvoor.</i> |
| 50 Zs1 | bruin | beëindigd | <i>Vlekken: sterk gevlekt, donker bruin. Geologische interpretaties: dekzand. Bodemkundige interpretaties: rommelig. Opmerkingen: podzolmix.</i> |
| 70 Zs1 | geel | beëindigd | <i>Bodemhorizont: C. Geologische interpretaties: dekzand.</i> |
| boring 38 | <i>RD-X: 233.972. RD-Y: 569.829. Boormethode: edelmanboring.</i> | | |
| <i>diepte lithologie</i> | <i>kleur</i> | <i>grens</i> | |
| 30 Zs1h1 | grijsbruin | geleidelijk | <i>Bodemkundige interpretaties: bouwvoor.</i> |
| 70 Zs1 | geel | beëindigd | <i>Bodemhorizont: C. Geologische interpretaties: dekzand.</i> |
| boring 39 | <i>RD-X: 233.998. RD-Y: 569.781. Boormethode: edelmanboring.</i> | | |
| <i>diepte lithologie</i> | <i>kleur</i> | <i>grens</i> | |
| 30 Zs1h1 | grijsbruin | scherp | <i>Bodemkundige interpretaties: bouwvoor. Opmerkingen: foto 95.</i> |
| 60 Zs1 | geel | beëindigd | <i>Bodemhorizont: C. Geologische interpretaties: dekzand.</i> |
| boring 40 | <i>RD-X: 234.026. RD-Y: 569.743. Boormethode: edelmanboring.</i> | | |
| <i>diepte lithologie</i> | <i>kleur</i> | <i>grens</i> | |
| 15 Zs1h1 | grijsbruin | scherp | <i>Bodemkundige interpretaties: bouwvoor.</i> |
| 25 Vkm | donker bruin | scherp | <i>Veen amorfiteit: sterk amorf. Consistentie: stevig.</i> |
| 45 Zs1 | licht grijs | geleidelijk | |
| 50 Zs1 | licht grijs | geleidelijk | |
| 60 Zs1 | licht geel | beëindigd | <i>Bodemhorizont: C. Geologische interpretaties: dekzand.</i> |
| boring 41 | <i>RD-X: 234.050. RD-Y: 569.697. Boormethode: edelmanboring.</i> | | |
| <i>diepte lithologie</i> | <i>kleur</i> | <i>grens</i> | |
| 15 Zs1h3 | grijsbruin | scherp | <i>Bodemkundige interpretaties: bouwvoor. Opmerkingen: keileembrok.</i> |
| 60 Zs1 | licht geel | beëindigd | <i>Bodemhorizont: C. Geologische interpretaties: dekzand.</i> |
| boring 42 | <i>RD-X: 234.065. RD-Y: 569.660. Boormethode: edelmanboring.</i> | | |
| <i>diepte lithologie</i> | <i>kleur</i> | <i>grens</i> | |
| 15 Zs1h3 | grijsbruin | scherp | <i>Bodemkundige interpretaties: bouwvoor. Opmerkingen: veenbrokken.</i> |
| 40 Zs3 | donker grijs | geleidelijk | <i>Opmerkingen: rommelig.</i> |
| 60 Zs1 | licht geel | beëindigd | <i>Bodemhorizont: C. Geologische interpretaties: dekzand.</i> |
| boring 43 | <i>RD-X: 234.084. RD-Y: 569.615. Boormethode: edelmanboring.</i> | | |
| <i>diepte lithologie</i> | <i>kleur</i> | <i>grens</i> | |
| 15 Zs1h3 | grijsbruin | scherp | <i>Bodemkundige interpretaties: bouwvoor.</i> |
| 35 Vkm | donker bruin | scherp | <i>Veen amorfiteit: sterk amorf. Consistentie: stevig.</i> |
| 60 Zs1 | licht geel | beëindigd | <i>Bodemhorizont: C. Geologische interpretaties: dekzand.</i> |
| boring 44 | <i>RD-X: 233.986. RD-Y: 569.565. Boormethode: edelmanboring.</i> | | |
| <i>diepte lithologie</i> | <i>kleur</i> | <i>grens</i> | |
| 20 Zs1h2 | grijsbruin | scherp | <i>Bodemkundige interpretaties: bouwvoor.</i> |
| 60 Zs1 | licht geel | beëindigd | <i>Bodemhorizont: C. Geologische interpretaties: dekzand.</i> |
| boring 45 | <i>RD-X: 234.039. RD-Y: 569.625. Boormethode: edelmanboring.</i> | | |
| <i>diepte lithologie</i> | <i>kleur</i> | <i>grens</i> | |
| 20 Zs1h2 | grijsbruin | scherp | <i>Bodemkundige interpretaties: bouwvoor.</i> |
| 60 Zs1 | licht geel | beëindigd | <i>Bodemhorizont: C. Geologische interpretaties: dekzand. Opmerkingen: rommelig.</i> |

| | | | |
|--------------------------|--|--------------|---|
| boring 46 | <i>RD-X: 234.019. RD-Y: 569.671. Boormethode: edelmanboring.</i> | | |
| <i>diepte lithologie</i> | <i>kleur</i> | <i>grens</i> | |
| 20 Zs1h2 | grijsbruin | scherp | <i>Bodemkundige interpretaties: bouwvoor.</i> |
| 35 Zs1h3g1 | licht grijs | geleidelijk | <i>Opmerkingen: rommelig.</i> |
| 60 Lz1 | groengrijs | beëindigd | <i>Geologische interpretaties: keileem. Opmerkingen: rommelig.</i> |
| boring 47 | <i>RD-X: 233.973. RD-Y: 569.748. Boormethode: edelmanboring.</i> | | |
| <i>diepte lithologie</i> | <i>kleur</i> | <i>grens</i> | |
| 65 Zs1h3 | donker bruin | geleidelijk | <i>Vlekken: sterk gevlekt, grijs. Bodemkundige interpretaties: opgebrachte grond. Opmerkingen: rommelig leembrokken.</i> |
| 90 Lz3 | groengrijs | beëindigd | <i>Nieuwvormingen: roestvlekken, weinig. Geologische interpretaties: keileem.</i> |
| boring 48 | <i>RD-X: 233.954. RD-Y: 569.793. Boormethode: edelmanboring.</i> | | |
| <i>diepte lithologie</i> | <i>kleur</i> | <i>grens</i> | |
| 25 Zs1h3 | donker bruin | geleidelijk | <i>Vlekken: sterk gevlekt, grijs. Bodemkundige interpretaties: bouwvoor.</i> |
| 45 Zs1 | bruin | geleidelijk | <i>Vlekken: sterk gevlekt, donker bruin. Geologische interpretaties: dekszand. Bodemkundige interpretaties: rommelig. Opmerkingen: podzolmix.</i> |
| 60 Zs1 | licht geel | beëindigd | <i>Bodemhorizont: C. Geologische interpretaties: dekszand.</i> |
| boring 49 | <i>RD-X: 233.950. RD-Y: 569.795. Boormethode: edelmanboring.</i> | | |
| <i>diepte lithologie</i> | <i>kleur</i> | <i>grens</i> | |
| 30 Zs1h3 | donker bruin | geleidelijk | <i>Bodemkundige interpretaties: bouwvoor.</i> |
| 45 Zs1 | bruin | geleidelijk | <i>Vlekken: sterk gevlekt, donker bruin. Geologische interpretaties: dekszand. Bodemkundige interpretaties: rommelig. Opmerkingen: podzolmix.</i> |
| 60 Zs1 | geel | beëindigd | <i>Bodemhorizont: C. Geologische interpretaties: dekszand.</i> |
| boring 50 | <i>RD-X: 233.908. RD-Y: 569.789. Boormethode: edelmanboring.</i> | | |
| <i>diepte lithologie</i> | <i>kleur</i> | <i>grens</i> | |
| 50 Zs1h3 | donker bruin | geleidelijk | <i>Bodemkundige interpretaties: bouwvoor.</i> |
| 70 Zs1 | licht grijs | beëindigd | <i>Bodemhorizont: C. Geologische interpretaties: dekszand.</i> |
| boring 51 | <i>RD-X: 233.931. RD-Y: 569.745. Boormethode: edelmanboring.</i> | | |
| <i>diepte lithologie</i> | <i>kleur</i> | <i>grens</i> | |
| 30 Zs1h3 | donker bruin | geleidelijk | <i>Bodemkundige interpretaties: bouwvoor.</i> |
| 45 Zs1 | bruin | geleidelijk | <i>Vlekken: matig gevlekt, donker bruin. Geologische interpretaties: dekszand. Bodemkundige interpretaties: rommelig. Opmerkingen: podzolmix.</i> |
| 60 Zs1 | geel | beëindigd | <i>Bodemhorizont: C. Geologische interpretaties: dekszand.</i> |
| boring 52 | <i>RD-X: 233.959. RD-Y: 569.704. Boormethode: edelmanboring.</i> | | |
| <i>diepte lithologie</i> | <i>kleur</i> | <i>grens</i> | |
| 50 Zs1h3 | donker bruin | geleidelijk | <i>Vlekken: sterk gevlekt, grijs. Bodemkundige interpretaties: bouwvoor. Opmerkingen: rommelig leembrokken.</i> |
| 70 Zs1 | licht geel | beëindigd | <i>Bodemhorizont: C. Geologische interpretaties: dekszand.</i> |
| boring 53 | <i>RD-X: 233.969. RD-Y: 569.674. Boormethode: edelmanboring.</i> | | |
| <i>diepte lithologie</i> | <i>kleur</i> | <i>grens</i> | |
| 30 Zs1h3 | donker bruin | geleidelijk | <i>Vlekken: sterk gevlekt, grijs. Bodemkundige interpretaties: bouwvoor. Opmerkingen: leembrokken.</i> |
| 45 Zs1 | bruin | geleidelijk | <i>Vlekken: sterk gevlekt, donker bruin. Geologische interpretaties: dekszand. Bodemkundige interpretaties: rommelig. Opmerkingen: podzolmix.</i> |
| 55 Zs1 | licht geel | scherp | <i>Bodemhorizont: C. Geologische interpretaties: dekszand.</i> |
| 70 Lz3 | licht grijs | beëindigd | <i>Nieuwvormingen: roestvlekken, spoor. Geologische interpretaties: keizand.</i> |

| | | | |
|--------------------------|--|--------------|--|
| boring 54 | <i>RD-X: 233.993. RD-Y: 569.628. Boormethode: edelmanboring.</i> | | |
| <i>diepte lithologie</i> | <i>kleur</i> | <i>grens</i> | |
| 20 Zs1h3 | donker bruin | geleidelijk | <i>Vlekken: sterk gevlekt, grijs. Bodemkundige interpretaties: bouwvoor. Opmerkingen: leembrokken.</i> |
| 60 Lz1 | licht grijs | beëindigd | <i>Nieuwvormingen: roestvlekken, spoor. Laagtrends: kleiig aan de top. Geologische interpretaties: keizand.</i> |
| boring 55 | <i>RD-X: 234.013. RD-Y: 569.581. Boormethode: edelmanboring.</i> | | |
| <i>diepte lithologie</i> | <i>kleur</i> | <i>grens</i> | |
| 20 Zs1h1 | donker bruin | geleidelijk | <i>Vlekken: sterk gevlekt, grijs. Bodemkundige interpretaties: bouwvoor. Opmerkingen: leembrokken.</i> |
| 60 Lz1 | licht grijs | beëindigd | <i>Nieuwvormingen: roestvlekken, spoor. Geologische interpretaties: keileem.</i> |
| boring 56 | <i>RD-X: 233.984. RD-Y: 569.556. Boormethode: edelmanboring.</i> | | |
| <i>diepte lithologie</i> | <i>kleur</i> | <i>grens</i> | |
| 20 Zs1h1 | donker bruin | geleidelijk | <i>Vlekken: sterk gevlekt, grijs. Bodemkundige interpretaties: bouwvoor. Opmerkingen: leembrokken.</i> |
| 60 Lz1 | licht grijs | beëindigd | <i>Nieuwvormingen: roestvlekken, spoor. Laagtrends: kleiig aan de top. Geologische interpretaties: keileem.</i> |
| boring 57 | <i>RD-X: 233.962. RD-Y: 569.597. Boormethode: edelmanboring.</i> | | |
| <i>diepte lithologie</i> | <i>kleur</i> | <i>grens</i> | |
| 20 Zs1h3 | donker bruin | geleidelijk | <i>Vlekken: sterk gevlekt, grijs. Bodemkundige interpretaties: bouwvoor. Opmerkingen: leembrokken.</i> |
| 60 Ks1 | licht grijs | beëindigd | <i>Nieuwvormingen: roestvlekken, spoor.</i> |
| boring 58 | <i>RD-X: 233.943. RD-Y: 569.636. Boormethode: edelmanboring.</i> | | |
| <i>diepte lithologie</i> | <i>kleur</i> | <i>grens</i> | |
| 40 Zs1h3 | donker bruin | geleidelijk | <i>Vlekken: sterk gevlekt, grijs. Bodemkundige interpretaties: bouwvoor. Opmerkingen: leembrokken.</i> |
| 50 Zs1 | donker geel | geleidelijk | <i>Bodemhorizont: C. Geologische interpretaties: dekszand.</i> |
| 60 Lz3 | licht grijs | beëindigd | <i>Nieuwvormingen: roestvlekken, spoor. Laagtrends: kleiig aan de top. Geologische interpretaties: keizand. Opmerkingen: kleiig.</i> |
| boring 59 | <i>RD-X: 233.924. RD-Y: 569.682. Boormethode: edelmanboring.</i> | | |
| <i>diepte lithologie</i> | <i>kleur</i> | <i>grens</i> | |
| 25 Zs1h1 | donker bruin | geleidelijk | <i>Vlekken: sterk gevlekt, grijs. Bodemkundige interpretaties: bouwvoor.</i> |
| 60 Zs1 | donker geel | beëindigd | <i>Bodemhorizont: C. Geologische interpretaties: dekszand.</i> |
| boring 60 | <i>RD-X: 233.909. RD-Y: 569.715. Boormethode: edelmanboring.</i> | | |
| <i>diepte lithologie</i> | <i>kleur</i> | <i>grens</i> | |
| 45 Zs1h1 | donker bruin | geleidelijk | <i>Vlekken: sterk gevlekt, grijs. Bodemkundige interpretaties: bouwvoor.</i> |
| 60 Zs1 | donker geel | beëindigd | <i>Bodemhorizont: C. Geologische interpretaties: dekszand.</i> |
| boring 61 | <i>RD-X: 233.895. RD-Y: 569.773. Boormethode: edelmanboring.</i> | | |
| <i>diepte lithologie</i> | <i>kleur</i> | <i>grens</i> | |
| 45 Zs1h1 | donker bruin | geleidelijk | <i>Bodemkundige interpretaties: bouwvoor.</i> |
| 60 Zs1 | donker bruin | geleidelijk | <i>Vlekken: matig gevlekt, licht rood. Opmerkingen: podzolmix.</i> |
| 80 Zs1 | geel | beëindigd | <i>Bodemhorizont: C. Geologische interpretaties: dekszand.</i> |
| boring 62 | <i>RD-X: 233.856. RD-Y: 569.745. Boormethode: edelmanboring.</i> | | |
| <i>diepte lithologie</i> | <i>kleur</i> | <i>grens</i> | |
| 5 PUIs1 | donker bruin | gestaakt | |

| | | | |
|--------------------------|--|--------------|---|
| boring 63 | <i>RD-X: 233.869. RD-Y: 569.713. Boormethode: edelmanboring.</i> | | |
| <i>diepte lithologie</i> | <i>kleur</i> | <i>grens</i> | |
| 90 Zs1h1 | donker bruin | geleidelijk | <i>Vlekken: sterk gevlekt, grijs. Bodemkundige interpretaties: bouwvoor. Opmerkingen: rommelig.</i> |
| 110 Zs1 | geel | beëindigd | <i>Bodemhorizont: C. Geologische interpretaties: dekzand.</i> |
| boring 64 | <i>RD-X: 233.891. RD-Y: 569.670. Boormethode: edelmanboring.</i> | | |
| <i>diepte lithologie</i> | <i>kleur</i> | <i>grens</i> | |
| 25 Zs1h1 | donker bruin | geleidelijk | <i>Bodemkundige interpretaties: bouwvoor.</i> |
| 60 Zs1 | donker bruin | geleidelijk | <i>Vlekken: matig gevlekt, licht rood. Opmerkingen: podzolmix.</i> |
| 80 Zs1 | geel | beëindigd | <i>Bodemhorizont: C. Geologische interpretaties: dekzand.</i> |
| boring 65 | <i>RD-X: 233.911. RD-Y: 569.635. Boormethode: edelmanboring.</i> | | |
| <i>diepte lithologie</i> | <i>kleur</i> | <i>grens</i> | |
| 30 Zs1h1 | donker bruin | geleidelijk | <i>Bodemkundige interpretaties: bouwvoor.</i> |
| 60 Zs1 | geel | beëindigd | <i>Bodemhorizont: C. Nieuwvormingen: roestvlekken, weinig. Geologische interpretaties: dekzand.</i> |
| boring 66 | <i>RD-X: 233.935. RD-Y: 569.588. Boormethode: edelmanboring.</i> | | |
| <i>diepte lithologie</i> | <i>kleur</i> | <i>grens</i> | |
| 20 Zs1h1 | donker bruin | geleidelijk | <i>Bodemkundige interpretaties: bouwvoor.</i> |
| 60 Zs1 | licht grijsgeel | beëindigd | <i>Bodemhorizont: C. Geologische interpretaties: dekzand.</i> |
| boring 67 | <i>RD-X: 233.952. RD-Y: 569.552. Boormethode: edelmanboring.</i> | | |
| <i>diepte lithologie</i> | <i>kleur</i> | <i>grens</i> | |
| 30 Zs1h1 | donker bruin | geleidelijk | <i>Bodemkundige interpretaties: bouwvoor. Opmerkingen: leembrokken.</i> |
| 60 Ks1g1 | grijs | beëindigd | <i>Nieuwvormingen: roestvlekken, spoor. Opmerkingen: kleilig rommelig.</i> |
| boring 68 | <i>RD-X: 233.902. RD-Y: 569.533. Boormethode: edelmanboring.</i> | | |
| <i>diepte lithologie</i> | <i>kleur</i> | <i>grens</i> | |
| 40 Zs1h1 | donker bruin | geleidelijk | <i>Bodemkundige interpretaties: bouwvoor.</i> |
| 60 Zs1 | geel | beëindigd | <i>Bodemhorizont: C. Geologische interpretaties: dekzand.</i> |
| boring 69 | <i>RD-X: 233.857. RD-Y: 569.521. Boormethode: edelmanboring.</i> | | |
| <i>diepte lithologie</i> | <i>kleur</i> | <i>grens</i> | |
| 35 Zs1h1 | donker bruin | geleidelijk | <i>Bodemkundige interpretaties: bouwvoor.</i> |
| 40 Zs1 | roodbruin | geleidelijk | <i>Bodemhorizont: B. Geologische interpretaties: dekzand. Opmerkingen: rommelig.</i> |
| 60 Zs1 | geel | beëindigd | <i>Bodemhorizont: C. Nieuwvormingen: roestvlekken, weinig. Geologische interpretaties: dekzand.</i> |
| boring 70 | <i>RD-X: 233.818. RD-Y: 569.503. Boormethode: edelmanboring.</i> | | |
| <i>diepte lithologie</i> | <i>kleur</i> | <i>grens</i> | |
| 35 Zs1h2 | donker bruin | geleidelijk | <i>Bodemkundige interpretaties: bouwvoor.</i> |
| 60 Zs1 | licht grijsgeel | beëindigd | <i>Bodemhorizont: C. Nieuwvormingen: roestvlekken, weinig. Geologische interpretaties: dekzand.</i> |
| boring 71 | <i>RD-X: 233.777. RD-Y: 569.531. Boormethode: edelmanboring.</i> | | |
| <i>diepte lithologie</i> | <i>kleur</i> | <i>grens</i> | |
| 35 Zs1h1 | donker bruin | geleidelijk | <i>Bodemkundige interpretaties: bouwvoor.</i> |
| 60 Zs1 | licht grijsgeel | beëindigd | <i>Bodemhorizont: C. Geologische interpretaties: dekzand.</i> |

| | | | |
|--------------------------|--|--------------|---|
| boring 72 | <i>RD-X: 233.820. RD-Y: 569.555. Boormethode: edelmanboring.</i> | | |
| <i>diepte lithologie</i> | <i>kleur</i> | <i>grens</i> | |
| 25 Zs1h1 | donker bruin | geleidelijk | <i>Bodemkundige interpretaties: bouwvoor.</i> |
| 60 Zs1 | licht grijsgeel | beëindigd | <i>Bodemhorizont: C. Geologische interpretaties: dekzand.</i> |
| boring 73 | <i>RD-X: 233.865. RD-Y: 569.563. Boormethode: edelmanboring.</i> | | |
| <i>diepte lithologie</i> | <i>kleur</i> | <i>grens</i> | |
| 30 Zs1h1 | donker bruin | geleidelijk | <i>Bodemkundige interpretaties: bouwvoor.</i> |
| 60 Zs1 | geel | beëindigd | <i>Bodemhorizont: C. Nieuwvormingen: roestvlekken, weinig. Geologische interpretaties: dekzand.</i> |
| boring 74 | <i>RD-X: 233.875. RD-Y: 569.623. Boormethode: edelmanboring.</i> | | |
| <i>diepte lithologie</i> | <i>kleur</i> | <i>grens</i> | |
| 40 Zs1 | donker bruin | geleidelijk | <i>Bodemkundige interpretaties: bouwvoor.</i> |
| 60 Zs1 | geel | beëindigd | <i>Bodemhorizont: C. Nieuwvormingen: roestvlekken, weinig. Geologische interpretaties: dekzand.</i> |
| boring 75 | <i>RD-X: 233.831. RD-Y: 569.587. Boormethode: edelmanboring.</i> | | |
| <i>diepte lithologie</i> | <i>kleur</i> | <i>grens</i> | |
| 35 Zs1 | donker bruin | geleidelijk | <i>Bodemkundige interpretaties: bouwvoor.</i> |
| 60 Zs1 | geel | beëindigd | <i>Bodemhorizont: C. Nieuwvormingen: roestvlekken, veel. Geologische interpretaties: dekzand.</i> |
| boring 76 | <i>RD-X: 233.786. RD-Y: 569.573. Boormethode: edelmanboring.</i> | | |
| <i>diepte lithologie</i> | <i>kleur</i> | <i>grens</i> | |
| 50 Zs1 | donker bruin | geleidelijk | <i>Bodemkundige interpretaties: bouwvoor.</i> |
| 70 Zs1 | licht grijsgeel | beëindigd | <i>Bodemhorizont: C. Nieuwvormingen: roestvlekken, veel. Geologische interpretaties: dekzand.</i> |
| boring 77 | <i>RD-X: 233.738. RD-Y: 569.559. Boormethode: edelmanboring.</i> | | |
| <i>diepte lithologie</i> | <i>kleur</i> | <i>grens</i> | |
| 25 Zs1 | donker bruin | geleidelijk | <i>Bodemkundige interpretaties: bouwvoor.</i> |
| 40 Zs1 | licht grijsgeel | scherp | <i>Bodemhorizont: C. Nieuwvormingen: roestvlekken, veel. Geologische interpretaties: dekzand.</i> |
| 60 Ks1 | grijs | beëindigd | <i>Nieuwvormingen: roestvlekken, weinig. Opmerkingen: kleilig.</i> |
| boring 78 | <i>RD-X: 233.389. RD-Y: 569.719. Boormethode: edelmanboring.</i> | | |
| <i>diepte lithologie</i> | <i>kleur</i> | <i>grens</i> | |
| 25 Zs1 | donker bruin | geleidelijk | <i>Bodemkundige interpretaties: bouwvoor.</i> |
| 60 Zs1 | licht geel | beëindigd | <i>Bodemhorizont: C. Geologische interpretaties: dekzand.</i> |
| boring 79 | <i>RD-X: 233.387. RD-Y: 569.697. Boormethode: edelmanboring.</i> | | |
| <i>diepte lithologie</i> | <i>kleur</i> | <i>grens</i> | |
| 40 Zs1 | donker bruin | geleidelijk | <i>Bodemkundige interpretaties: bouwvoor.</i> |
| 60 Zs1 | licht geel | beëindigd | <i>Bodemhorizont: C. Geologische interpretaties: dekzand.</i> |
| boring 80 | <i>RD-X: 233.385. RD-Y: 569.678. Boormethode: edelmanboring.</i> | | |
| <i>diepte lithologie</i> | <i>kleur</i> | <i>grens</i> | |
| 80 Zs1 | donker bruin | scherp | <i>Bodemkundige interpretaties: bouwvoor. Opmerkingen: rommelig doorworteling.</i> |
| 100 Zs1 | licht geel | beëindigd | <i>Bodemhorizont: C. Geologische interpretaties: dekzand.</i> |

boring 81 RD-X: 233.406. RD-Y: 569.690. Boormethode: edelmanboring.

| diepte lithologie | kleur | grens | |
|-------------------|--------------|-----------|---|
| 25 Zs1 | donker bruin | scherp | Bodemkundige interpretaties: bouwvoor. |
| 50 Zs1 | licht geel | beëindigd | Bodemhorizont: C. Geologische interpretaties: dekszand. |

boring 82 RD-X: 233.404. RD-Y: 569.710. Boormethode: edelmanboring.

| diepte lithologie | kleur | grens | |
|-------------------|--------------|-----------|---|
| 25 Zs1 | donker bruin | scherp | Bodemkundige interpretaties: bouwvoor. |
| 50 Zs1 | licht geel | beëindigd | Bodemhorizont: C. Geologische interpretaties: dekszand. |

boring 83 RD-X: 233.405. RD-Y: 569.732. Boormethode: edelmanboring.

| diepte lithologie | kleur | grens | |
|-------------------|--------------|-----------|---|
| 30 Zs1 | donker bruin | scherp | Bodemkundige interpretaties: bouwvoor. |
| 60 Zs1 | roodbruin | scherp | Vlekken: sterk gevlekt, licht geel. Opmerkingen: podzolmix. |
| 80 Zs1 | licht geel | beëindigd | Bodemhorizont: C. Geologische interpretaties: dekszand. |

boring 84 RD-X: 235.854. RD-Y: 571.635. Boormethode: edelmanboring.

| diepte lithologie | kleur | grens | |
|-------------------|--------------|-----------|---|
| 30 Zs1 | donker bruin | scherp | Bodemkundige interpretaties: bouwvoor. |
| 70 Zs1 | licht grijs | scherp | Archeologische indicatoren: baksteen, spoor, puin. Opmerkingen: rommelig. |
| 80 Zs1g2 | grijs | beëindigd | Zandmediaanklasse: matig grof. Geologische interpretaties: keizand. |

boring 85 RD-X: 235.833. RD-Y: 571.599. Boormethode: edelmanboring.

| diepte lithologie | kleur | grens | |
|-------------------|--------------|-----------|---|
| 30 Zs1 | donker bruin | scherp | Bodemkundige interpretaties: bouwvoor. |
| 60 Zs1g2 | donker geel | beëindigd | Bodemhorizont: C. Geologische interpretaties: dekszand. |

boring 86 RD-X: 235.816. RD-Y: 571.592. Boormethode: edelmanboring.

| diepte lithologie | kleur | grens | |
|-------------------|--------------|-----------|---|
| 30 Zs1 | donker bruin | scherp | Bodemkundige interpretaties: bouwvoor. Opmerkingen: rommelig. |
| 100 Zs1 | bruin | scherp | Vlekken: sterk gevlekt, licht geel. |
| 120 Zs1g2 | donker geel | beëindigd | Bodemhorizont: C. Geologische interpretaties: dekszand. |

boring 87 RD-X: 235.804. RD-Y: 571.566. Boormethode: edelmanboring.

| diepte lithologie | kleur | grens | |
|-------------------|--------------|-----------|---|
| 25 Zs1 | donker bruin | scherp | Bodemkundige interpretaties: bouwvoor. Opmerkingen: rommelig. |
| 110 Zs1 | bruin | scherp | Vlekken: sterk gevlekt, licht geel. Opmerkingen: podzolmix. |
| 120 Zs1g2 | donker geel | beëindigd | Bodemhorizont: C. Geologische interpretaties: dekszand. |

boring 88 RD-X: 235.808. RD-Y: 571.562. Boormethode: edelmanboring.

| diepte lithologie | kleur | grens | |
|-------------------|--------------|-----------|---|
| 75 Zs1 | donker bruin | scherp | Bodemkundige interpretaties: bouwvoor. Opmerkingen: rommelig. |
| 100 Zs1g2 | donker geel | beëindigd | Bodemhorizont: C. Geologische interpretaties: dekszand. |

boring 89 RD-X: 235.855. RD-Y: 571.595. Boormethode: edelmanboring.

| diepte lithologie | kleur | grens | |
|-------------------|--------------|-----------|---|
| 100 Zs1 | donker bruin | scherp | Bodemkundige interpretaties: bouwvoor. Opmerkingen: rommelig. |
| 115 Zs1 | bruin | scherp | Vlekken: sterk gevlekt, licht geel. Opmerkingen: podzolmix. |
| 120 Zs1g2 | donker geel | beëindigd | Bodemhorizont: C. Geologische interpretaties: dekszand. |

| | | | |
|--------------------------|--|--------------|---|
| boring 90 | <i>RD-X: 233.230. RD-Y: 569.895. Boormethode: edelmanboring.</i> | | |
| <i>diepte lithologie</i> | <i>kleur</i> | <i>grens</i> | |
| 35 Zs1h1 | donker bruin | geleidelijk | <i>Vlekken: matig gevlekt, geel. Bodemkundige interpretaties: bouwvoor.</i> |
| 60 Zs1 | geel | beëindigd | <i>Bodemhorizont: C. Nieuwvormingen: roestvlekken, weinig. Geologische interpretaties: dekzand. Opmerkingen: foto 95.</i> |
| boring 91 | <i>RD-X: 233.209. RD-Y: 569.894. Boormethode: edelmanboring.</i> | | |
| <i>diepte lithologie</i> | <i>kleur</i> | <i>grens</i> | |
| 20 Zs1h2 | donker bruin | scherp | <i>Bodemkundige interpretaties: bouwvoor.</i> |
| 60 Zs1 | geel | beëindigd | <i>Bodemhorizont: C. Geologische interpretaties: dekzand. Opmerkingen: foto 96.</i> |
| boring 92 | <i>RD-X: 233.182. RD-Y: 569.889. Boormethode: edelmanboring.</i> | | |
| <i>diepte lithologie</i> | <i>kleur</i> | <i>grens</i> | |
| 50 Zs1h2 | donker bruin | geleidelijk | <i>Vlekken: matig gevlekt, geel. Bodemkundige interpretaties: bouwvoor.</i> |
| 75 Zs1 | geel | beëindigd | <i>Bodemhorizont: C. Geologische interpretaties: dekzand. Opmerkingen: foto 96.</i> |
| boring 93 | <i>RD-X: 233.193. RD-Y: 569.912. Boormethode: edelmanboring.</i> | | |
| <i>diepte lithologie</i> | <i>kleur</i> | <i>grens</i> | |
| 45 Zs1h2 | donker bruin | scherp | <i>Bodemkundige interpretaties: bouwvoor.</i> |
| 85 Zs1 | geel | beëindigd | <i>Bodemhorizont: C. Geologische interpretaties: dekzand. Opmerkingen: foto 96.</i> |
| boring 94 | <i>RD-X: 233.216. RD-Y: 569.915. Boormethode: edelmanboring.</i> | | |
| <i>diepte lithologie</i> | <i>kleur</i> | <i>grens</i> | |
| 100 Zs1h2 | donker bruin | scherp | <i>Vlekken: sterk gevlekt, geel. Bodemkundige interpretaties: bouwvoor. Opmerkingen: leembrokken.</i> |
| 120 Ks1 | groengrijs | beëindigd | <i>Opmerkingen: kleiig.</i> |
| boring 95 | <i>RD-X: 233.231. RD-Y: 569.947. Boormethode: edelmanboring.</i> | | |
| <i>diepte lithologie</i> | <i>kleur</i> | <i>grens</i> | |
| 90 Zs1h2 | donker bruin | scherp | <i>Vlekken: sterk gevlekt, geel. Bodemkundige interpretaties: bouwvoor. Opmerkingen: leembrokken.</i> |
| 120 Kz3 | donker grijs | beëindigd | |
| boring 96 | <i>RD-X: 233.541. RD-Y: 570.235. Boormethode: edelmanboring.</i> | | |
| <i>diepte lithologie</i> | <i>kleur</i> | <i>grens</i> | |
| 100 Zs1h3 | donker bruin | scherp | <i>Vlekken: sterk gevlekt, geel. Bodemkundige interpretaties: bouwvoor.</i> |
| 130 Lz3 | groengrijs | beëindigd | <i>Nieuwvormingen: roestvlekken, spoor. Geologische interpretaties: keileem.</i> |
| boring 97 | <i>RD-X: 233.564. RD-Y: 570.245. Boormethode: edelmanboring.</i> | | |
| <i>diepte lithologie</i> | <i>kleur</i> | <i>grens</i> | |
| 50 Zs1h2g1 | donker bruin | scherp | <i>Vlekken: sterk gevlekt, geel. Bodemkundige interpretaties: bouwvoor. Opmerkingen: leembrokken.</i> |
| 65 Zs1 | grijsgeel | scherp | <i>Bodemhorizont: C. Geologische interpretaties: dekzand.</i> |
| 80 Lz3 | groengrijs | beëindigd | <i>Nieuwvormingen: roestvlekken, spoor. Geologische interpretaties: keileem.</i> |
| boring 98 | <i>RD-X: 233.581. RD-Y: 570.251. Boormethode: edelmanboring.</i> | | |
| <i>diepte lithologie</i> | <i>kleur</i> | <i>grens</i> | |
| 25 Zs1h2 | donker bruin | scherp | <i>Bodemkundige interpretaties: bouwvoor. Opmerkingen: leembrokken.</i> |
| 55 Lz3 | groengrijs | beëindigd | <i>Nieuwvormingen: roestvlekken, spoor. Geologische interpretaties: keileem.</i> |

| | | | | |
|---|--------------|--------------|--|--|
| boring 99 RD-X: 233.600. RD-Y: 570.254. Boormethode: edelmanboring. | | | | |
| <i>diepte lithologie</i> | <i>kleur</i> | <i>grens</i> | | |
| 25 Zs1h2 | donker bruin | scherp | | <i>Bodemkundige interpretaties:</i> bouwvoor. <i>Opmerkingen:</i> leembrokken. |
| 70 Zs1 | bruingeel | geleidelijk | | <i>Vlekken:</i> matig gevlekt, licht grijs. <i>Nieuwvormingen:</i> roestvlekken, spoor. <i>Opmerkingen:</i> podzolmix foto 98. |
| 85 Zs1 | geel | scherp | | <i>Nieuwvormingen:</i> roestvlekken, spoor. |
| 100 Lz3 | groengrijs | beëindigd | | <i>Nieuwvormingen:</i> roestvlekken, spoor. <i>Geologische interpretaties:</i> keileem. |
| boring 100 RD-X: 233.601. RD-Y: 570.234. Boormethode: edelmanboring. | | | | |
| <i>diepte lithologie</i> | <i>kleur</i> | <i>grens</i> | | |
| 30 Zs1h2 | donker bruin | scherp | | <i>Bodemkundige interpretaties:</i> bouwvoor. <i>Opmerkingen:</i> leembrokken. |
| 65 Zs1g1 | geel | geleidelijk | | <i>Bodemhorizont:</i> C. <i>Vlekken:</i> licht gevlekt, licht zwart. <i>Nieuwvormingen:</i> roestvlekken, spoor. <i>Geologische interpretaties:</i> dekzand. <i>Opmerkingen:</i> rommelig. |
| 75 Lz3 | groengrijs | beëindigd | | <i>Nieuwvormingen:</i> roestvlekken, spoor. <i>Geologische interpretaties:</i> keileem. |
| boring 101 RD-X: 233.577. RD-Y: 570.230. Boormethode: edelmanboring. | | | | |
| <i>diepte lithologie</i> | <i>kleur</i> | <i>grens</i> | | |
| 80 Zs1h2 | donker bruin | scherp | | <i>Bodemkundige interpretaties:</i> bouwvoor. <i>Opmerkingen:</i> leembrokken. |
| 90 Zs1 | geelbruin | scherp | | <i>Opmerkingen:</i> rommelig. |
| 110 Lz3 | groengrijs | beëindigd | | <i>Nieuwvormingen:</i> roestvlekken, spoor. <i>Geologische interpretaties:</i> keileem. |
| boring 102 RD-X: 233.541. RD-Y: 570.219. Boormethode: edelmanboring. | | | | |
| <i>diepte lithologie</i> | <i>kleur</i> | <i>grens</i> | | |
| 35 Zs1h2 | donker bruin | scherp | | <i>Bodemkundige interpretaties:</i> bouwvoor. <i>Opmerkingen:</i> leembrokken. |
| 60 Zs1 | geel | scherp | | <i>Bodemhorizont:</i> C. <i>Geologische interpretaties:</i> dekzand. <i>Opmerkingen:</i> foto 99. |
| 75 Lz3 | grijsgroen | beëindigd | | <i>Nieuwvormingen:</i> roestvlekken, spoor. <i>Geologische interpretaties:</i> keileem. |
| boring 103 RD-X: 233.535. RD-Y: 570.207. Boormethode: edelmanboring. | | | | |
| <i>diepte lithologie</i> | <i>kleur</i> | <i>grens</i> | | |
| 25 Zs1h2 | donker bruin | scherp | | <i>Bodemkundige interpretaties:</i> bouwvoor. <i>Opmerkingen:</i> leembrokken. |
| 60 Zs1 | geel | beëindigd | | <i>Bodemhorizont:</i> C. <i>Geologische interpretaties:</i> dekzand. |
| boring 104 RD-X: 233.515. RD-Y: 570.184. Boormethode: edelmanboring. | | | | |
| <i>diepte lithologie</i> | <i>kleur</i> | <i>grens</i> | | |
| 70 Zs1h2 | donker bruin | scherp | | <i>Bodemkundige interpretaties:</i> bouwvoor. <i>Opmerkingen:</i> leembrokken. |
| 100 Zs1 | licht geel | beëindigd | | <i>Bodemhorizont:</i> C. <i>Geologische interpretaties:</i> dekzand. |
| boring 105 RD-X: 233.501. RD-Y: 570.167. Boormethode: edelmanboring. | | | | |
| <i>diepte lithologie</i> | <i>kleur</i> | <i>grens</i> | | |
| 20 Zs1h2 | donker bruin | scherp | | <i>Bodemkundige interpretaties:</i> bouwvoor. <i>Opmerkingen:</i> leembrokken. |
| 55 Vz3 | donker bruin | scherp | | <i>Veen amorfiteit:</i> sterk amorf. |
| 70 Zs1 | licht geel | beëindigd | | <i>Bodemhorizont:</i> C. <i>Nieuwvormingen:</i> roestvlekken, spoor. <i>Geologische interpretaties:</i> dekzand. |
| boring 106 RD-X: 233.489. RD-Y: 570.151. Boormethode: edelmanboring. | | | | |
| <i>diepte lithologie</i> | <i>kleur</i> | <i>grens</i> | | |
| 40 Zs1h1 | grijsbruin | scherp | | <i>Vlekken:</i> matig gevlekt, geel. <i>Bodemkundige interpretaties:</i> bouwvoor. <i>Opmerkingen:</i> leembrokken. |
| 60 Zs1 | geel | beëindigd | | <i>Bodemhorizont:</i> C. <i>Geologische interpretaties:</i> dekzand. |

boring 107 RD-X: 233.428. RD-Y: 570.114. Boormethode: edelmanboring.

| diepte lithologie | kleur | grens | |
|-------------------|--------------|-------------|---|
| 45 Zs1h1 | donker bruin | geleidelijk | Bodemkundige interpretaties: bouwvoor. Opmerkingen: doorworteling. |
| 70 Zs1 | bruin | scherp | Vlekken: matig gevlekt, geel. Opmerkingen: podzolmix doorworteling. |
| 105 Zs1g1 | geel | scherp | Bodemhorizont: C. Geologische interpretaties: dekszand. |
| 120 Lz3 | geelgroen | beëindigd | Nieuwvormingen: roestvlekken, spoor. Geologische interpretaties: keileem. |

boring 108 RD-X: 233.802. RD-Y: 570.540. Boormethode: edelmanboring.

| diepte lithologie | kleur | grens | |
|-------------------|--------------|-----------|---|
| 20 Zs1 | donker bruin | scherp | Bodemkundige interpretaties: bouwvoor. |
| 60 Zs1 | geel | beëindigd | Bodemhorizont: C. Geologische interpretaties: dekszand. |

boring 109 RD-X: 233.757. RD-Y: 570.524. Boormethode: edelmanboring.

| diepte lithologie | kleur | grens | |
|-------------------|--------------|-----------|---|
| 30 Zs1 | donker bruin | scherp | Vlekken: matig gevlekt, licht geel. Bodemkundige interpretaties: bouwvoor. |
| 70 Zs1 | licht geel | beëindigd | Bodemhorizont: C. Geologische interpretaties: dekszand. Opmerkingen: lemig onderin. |

boring 110 RD-X: 233.713. RD-Y: 570.506. Boormethode: edelmanboring.

| diepte lithologie | kleur | grens | |
|-------------------|--------------|-------------|--|
| 30 Zs1 | donker bruin | geleidelijk | Vlekken: matig gevlekt, licht geel. Bodemkundige interpretaties: bouwvoor. |
| 60 Zs1 | licht geel | beëindigd | Bodemhorizont: C. Nieuwvormingen: roestvlekken, spoor. Geologische interpretaties: dekszand. Opmerkingen: lemig onderin. |

boring 111 RD-X: 233.661. RD-Y: 570.488. Boormethode: edelmanboring.

| diepte lithologie | kleur | grens | |
|-------------------|--------------|-------------|--|
| 35 Zs1 | donker bruin | geleidelijk | Vlekken: matig gevlekt, licht grijs. Bodemkundige interpretaties: bouwvoor. |
| 65 Zs1 | grijs | geleidelijk | Vlekken: matig gevlekt, bruin. Opmerkingen: rommelig. |
| 70 Zs1 | licht geel | scherp | Bodemhorizont: C. Nieuwvormingen: roestvlekken, spoor. Geologische interpretaties: dekszand. Opmerkingen: lemig onderin. |
| 75 Ks1 | groengrijs | beëindigd | Geologische interpretaties: keileem. Opmerkingen: kleiig. |

boring 112 RD-X: 233.616. RD-Y: 570.473. Boormethode: edelmanboring.

| diepte lithologie | kleur | grens | |
|-------------------|--------------|-------------|--|
| 15 Zs1 | donker bruin | geleidelijk | Bodemkundige interpretaties: bouwvoor. |
| 60 Zs1 | geel | geleidelijk | Vlekken: matig gevlekt, bruin. Opmerkingen: rommelig. |
| 65 Zs1 | licht geel | scherp | Bodemhorizont: C. Nieuwvormingen: roestvlekken, spoor. Geologische interpretaties: dekszand. Opmerkingen: lemig onderin. |
| 75 Ks1 | groengrijs | beëindigd | Opmerkingen: kleiig. |

boring 113 RD-X: 233.658. RD-Y: 570.449. Boormethode: edelmanboring.

| diepte lithologie | kleur | grens | |
|-------------------|--------------|-------------|---|
| 35 Zs1 | donker bruin | geleidelijk | Vlekken: licht gevlekt, grijs. Bodemkundige interpretaties: bouwvoor. |
| 60 Zs1 | grijs | geleidelijk | Vlekken: matig gevlekt, bruin. Opmerkingen: rommelig. |
| 80 Lz3 | licht grijs | beëindigd | Nieuwvormingen: roestvlekken, spoor. Geologische interpretaties: keileem. |

boring 114 RD-X: 233.699. RD-Y: 570.468. Boormethode: edelmanboring.

| diepte lithologie | kleur | grens | |
|-------------------|-------------|-------------|---|
| 60 Zs1 | bruin | geleidelijk | Vlekken: matig gevlekt, geel. Archeologische indicatoren: baksteen, spoor. Bodemkundige interpretaties: bouwvoor. Opmerkingen: keileembrokken rommelig. |
| 80 Zs1 | geel | geleidelijk | Bodemhorizont: C. Nieuwvormingen: roestvlekken, weinig. Geologische interpretaties: dekszand. |
| 90 Lz3 | licht grijs | beëindigd | Nieuwvormingen: roestvlekken, spoor. Geologische interpretaties: keileem. |

| | | | | |
|---|--------------|--------------|---|--|
| boring 115 RD-X: 233.740. RD-Y: 570.484. Boormethode: edelmanboring. | | | | |
| <i>diepte lithologie</i> | <i>kleur</i> | <i>grens</i> | | |
| 55 Zs1 | bruin | geleidelijk | Vlekken: matig gevlekt, geel. Archeologische indicatoren: baksteen, spoor. | Bodemkundige interpretaties: bouwvoor. |
| 80 Zs1 | geel | beëindigd | Bodemhorizont: C. Nieuwvormingen: roestvlekken, spoor. Geologische interpretaties: dekzand. | |
| boring 116 RD-X: 233.795. RD-Y: 570.505. Boormethode: edelmanboring. | | | | |
| <i>diepte lithologie</i> | <i>kleur</i> | <i>grens</i> | | |
| 35 Zs1 | bruin | geleidelijk | Vlekken: matig gevlekt, geel. Archeologische indicatoren: baksteen, spoor. | Bodemkundige interpretaties: bouwvoor. |
| 85 Zs1 | grijs | geleidelijk | Vlekken: sterk gevlekt, licht bruin. Opmerkingen: rommelig leembrokken onderin. | |
| 100 Zs1 | geel | beëindigd | Bodemhorizont: C. Nieuwvormingen: roestvlekken, spoor. Geologische interpretaties: dekzand. | |
| boring 117 RD-X: 233.826. RD-Y: 570.487. Boormethode: edelmanboring. | | | | |
| <i>diepte lithologie</i> | <i>kleur</i> | <i>grens</i> | | |
| 25 Zs1 | bruin | scherp | Vlekken: licht gevlekt, bruin. Bodemkundige interpretaties: bouwvoor. Opmerkingen: keileembrokken rommelig. | |
| 50 Zs1 | geel | scherp | Bodemhorizont: C. Nieuwvormingen: roestvlekken, spoor. Geologische interpretaties: dekzand. | |
| 60 Lz3 | licht grijs | beëindigd | Nieuwvormingen: roestvlekken, spoor. Geologische interpretaties: keileem. | |
| boring 118 RD-X: 233.787. RD-Y: 570.462. Boormethode: edelmanboring. | | | | |
| <i>diepte lithologie</i> | <i>kleur</i> | <i>grens</i> | | |
| 70 Zs1 | bruin | scherp | Vlekken: licht gevlekt, grijs. Bodemkundige interpretaties: bouwvoor. Opmerkingen: veenbrokken. | |
| 100 Zs1 | geel | scherp | Bodemhorizont: C. Nieuwvormingen: roestvlekken, spoor. Geologische interpretaties: dekzand. Opmerkingen: leembrokken. | |
| 110 Lz3 | licht grijs | beëindigd | Nieuwvormingen: roestvlekken, spoor. Geologische interpretaties: keileem. | |
| boring 119 RD-X: 233.738. RD-Y: 570.432. Boormethode: edelmanboring. | | | | |
| <i>diepte lithologie</i> | <i>kleur</i> | <i>grens</i> | | |
| 30 Zs1 | bruin | scherp | Vlekken: licht gevlekt, grijs. Bodemkundige interpretaties: bouwvoor. Opmerkingen: veenbrokken. | |
| 60 Zs1 | grijs | scherp | Opmerkingen: rommelig. | |
| 90 Zs1 | geel | geleidelijk | Bodemhorizont: C. Nieuwvormingen: roestvlekken, spoor. Geologische interpretaties: dekzand. Opmerkingen: leembrokken. | |
| 100 Lz3 | licht grijs | beëindigd | Nieuwvormingen: roestvlekken, spoor. Geologische interpretaties: keileem. | |
| boring 120 RD-X: 233.704. RD-Y: 570.424. Boormethode: edelmanboring. | | | | |
| <i>diepte lithologie</i> | <i>kleur</i> | <i>grens</i> | | |
| 20 Zs1 | bruin | geleidelijk | Vlekken: licht gevlekt, grijs. Bodemkundige interpretaties: bouwvoor. Opmerkingen: veenbrokken. | |
| 60 Zs1 | bruin | scherp | Vlekken: matig gevlekt, grijs. Opmerkingen: rommelig. | |
| 90 Zs1 | geel | geleidelijk | Bodemhorizont: C. Nieuwvormingen: roestvlekken, spoor. Geologische interpretaties: dekzand. Opmerkingen: leembrokken. | |
| 100 Lz3 | licht grijs | beëindigd | Nieuwvormingen: roestvlekken, spoor. Geologische interpretaties: keileem. | |

| | | | |
|---|--------------|--------------|---|
| boring 121 RD-X: 233.647. RD-Y: 570.402. Boormethode: edelmanboring. | | | |
| <i>diepte lithologie</i> | <i>kleur</i> | <i>grens</i> | |
| 25 Zs1 | bruin | geleidelijk | <i>Vlekken:</i> licht gevlekt, grijs. <i>Bodemkundige interpretaties:</i> bouwvoor. <i>Opmerkingen:</i> veenbrokken. |
| 55 Zs1 | bruin | geleidelijk | <i>Vlekken:</i> matig gevlekt, grijs. <i>Opmerkingen:</i> rommelig. |
| 75 Zs1 | grijsgeel | beëindigd | <i>Bodemhorizont:</i> C. <i>Nieuwvormingen:</i> roestvlekken, spoor. <i>Geologische interpretaties:</i> dekzand. <i>Opmerkingen:</i> leembrokken. |
| boring 122 RD-X: 233.679. RD-Y: 570.373. Boormethode: edelmanboring. | | | |
| <i>diepte lithologie</i> | <i>kleur</i> | <i>grens</i> | |
| 20 Zs1 | bruin | geleidelijk | <i>Vlekken:</i> licht gevlekt, grijs. <i>Bodemkundige interpretaties:</i> bouwvoor. <i>Opmerkingen:</i> veenbrokken. |
| 30 Zs1 | geel | scherp | <i>Bodemhorizont:</i> C. <i>Vlekken:</i> licht gevlekt, zwart. <i>Geologische interpretaties:</i> dekzand. <i>Opmerkingen:</i> foto 101. |
| 50 Lz3 | licht grijs | beëindigd | <i>Nieuwvormingen:</i> roestvlekken, spoor. <i>Geologische interpretaties:</i> keileem. |
| boring 123 RD-X: 233.718. RD-Y: 570.390. Boormethode: edelmanboring. | | | |
| <i>diepte lithologie</i> | <i>kleur</i> | <i>grens</i> | |
| 20 Zs1 | bruin | geleidelijk | <i>Vlekken:</i> licht gevlekt, grijs. <i>Bodemkundige interpretaties:</i> bouwvoor. <i>Opmerkingen:</i> veenbrokken. |
| 30 Zs1 | bruin | geleidelijk | <i>Vlekken:</i> licht gevlekt, geel. <i>Opmerkingen:</i> podzolmix. |
| 70 Zs1 | geel | geleidelijk | <i>Bodemhorizont:</i> C. <i>Nieuwvormingen:</i> roestvlekken, spoor. <i>Geologische interpretaties:</i> dekzand. <i>Opmerkingen:</i> foto 101. |
| 75 Lz3 | licht grijs | beëindigd | <i>Nieuwvormingen:</i> roestvlekken, spoor. <i>Geologische interpretaties:</i> keileem. |
| boring 124 RD-X: 233.778. RD-Y: 570.412. Boormethode: edelmanboring. | | | |
| <i>diepte lithologie</i> | <i>kleur</i> | <i>grens</i> | |
| 20 Zs1 | bruin | scherp | <i>Vlekken:</i> licht gevlekt, grijs. <i>Bodemkundige interpretaties:</i> bouwvoor. <i>Opmerkingen:</i> veenbrokken. |
| 50 Zs1 | geel | scherp | <i>Bodemhorizont:</i> C. <i>Geologische interpretaties:</i> dekzand. |
| 60 Lz3 | licht grijs | beëindigd | <i>Nieuwvormingen:</i> roestvlekken, spoor. <i>Geologische interpretaties:</i> keileem. |
| boring 125 RD-X: 233.823. RD-Y: 570.434. Boormethode: edelmanboring. | | | |
| <i>diepte lithologie</i> | <i>kleur</i> | <i>grens</i> | |
| 40 Zs1 | bruin | scherp | <i>Vlekken:</i> licht gevlekt, grijs. <i>Bodemkundige interpretaties:</i> bouwvoor. <i>Opmerkingen:</i> veenbrokken. |
| 50 Zs1 | geel | geleidelijk | <i>Vlekken:</i> sterk gevlekt, bruin. <i>Nieuwvormingen:</i> roestvlekken, weinig. |
| boring 126 RD-X: 233.838. RD-Y: 570.578. Boormethode: edelmanboring. | | | |
| <i>diepte lithologie</i> | <i>kleur</i> | <i>grens</i> | |
| 30 Zs1 | bruin | scherp | <i>Bodemkundige interpretaties:</i> bouwvoor. |
| 60 Zs1 | geel | geleidelijk | <i>Bodemhorizont:</i> C. <i>Geologische interpretaties:</i> dekzand. <i>Opmerkingen:</i> rommelig. |
| 70 Lz3 | licht grijs | beëindigd | <i>Nieuwvormingen:</i> roestvlekken, spoor. <i>Geologische interpretaties:</i> keileem. |
| boring 127 RD-X: 233.878. RD-Y: 570.506. Boormethode: edelmanboring. | | | |
| <i>diepte lithologie</i> | <i>kleur</i> | <i>grens</i> | |
| 25 Zs1 | bruin | scherp | <i>Bodemkundige interpretaties:</i> bouwvoor. |
| 60 Zs1 | geel | beëindigd | <i>Bodemhorizont:</i> C. <i>Nieuwvormingen:</i> roestvlekken, spoor. <i>Geologische interpretaties:</i> dekzand. |

boring 128 RD-X: 233.906. RD-Y: 570.470. Boormethode: edelmanboring.

| diepte lithologie | kleur | grens | |
|-------------------|-------------|-------------|---|
| 25 Zs1 | bruin | scherp | Bodemkundige interpretaties: bouwvoor. |
| 55 Zs1 | grijsgeel | geleidelijk | Nieuwvormingen: roestvlekken, spoor. Opmerkingen: rommelig. |
| 75 Zs1 | geel | scherp | Bodemhorizont: C. Nieuwvormingen: roestvlekken, spoor. Geologische interpretaties: dekzand. |
| 80 Lz3 | licht grijs | beëindigd | Nieuwvormingen: roestvlekken, spoor. Geologische interpretaties: keileem. |

boring 129 RD-X: 233.945. RD-Y: 570.470. Boormethode: edelmanboring.

| diepte lithologie | kleur | grens | |
|-------------------|-----------|-------------|---|
| 40 Zs1 | bruin | scherp | Vlekken: matig gevlekt, bruin. Bodemkundige interpretaties: bouwvoor. |
| 45 Zs1 | grijsgeel | geleidelijk | Nieuwvormingen: roestvlekken, spoor. Opmerkingen: rommelig. |
| 75 Zs1 | geel | beëindigd | Bodemhorizont: C. Nieuwvormingen: roestvlekken, spoor. Geologische interpretaties: dekzand. |

boring 130 RD-X: 233.920. RD-Y: 570.513. Boormethode: edelmanboring.

| diepte lithologie | kleur | grens | |
|-------------------|-------|-----------|--|
| 25 Zs1 | bruin | scherp | Bodemkundige interpretaties: bouwvoor. |
| 85 Zs1 | geel | beëindigd | Bodemhorizont: C. Nieuwvormingen: roestvlekken, weinig. Geologische interpretaties: dekzand. |

boring 131 RD-X: 233.893. RD-Y: 570.553. Boormethode: edelmanboring.

| diepte lithologie | kleur | grens | |
|-------------------|-------|-------------|--|
| 25 Zs1 | bruin | geleidelijk | Bodemkundige interpretaties: bouwvoor. |
| 85 Zs1 | geel | beëindigd | Bodemhorizont: C. Nieuwvormingen: roestvlekken, weinig. Geologische interpretaties: dekzand. |

boring 132 RD-X: 233.462. RD-Y: 569.916. Boormethode: edelmanboring.

| diepte lithologie | kleur | grens | |
|-------------------|-------|-------------|---|
| 30 Zs1h2 | bruin | geleidelijk | Bodemkundige interpretaties: bouwvoor. Opmerkingen: foto 102. |
| 65 Zs1 | geel | beëindigd | Bodemhorizont: C. Geologische interpretaties: dekzand. |

boring 133 RD-X: 233.508. RD-Y: 569.918. Boormethode: edelmanboring.

| diepte lithologie | kleur | grens | |
|-------------------|------------------|-----------|--|
| 35 Zs1h1 | bruin | scherp | Bodemkundige interpretaties: bouwvoor. |
| 55 Zs1 | geel | scherp | Bodemhorizont: C. Geologische interpretaties: dekzand. |
| 65 Lz3 | licht groengrijs | beëindigd | Nieuwvormingen: roestvlekken, weinig. Geologische interpretaties: keileem. |

boring 134 RD-X: 233.546. RD-Y: 569.934. Boormethode: edelmanboring.

| diepte lithologie | kleur | grens | |
|-------------------|------------------|-----------|--|
| 30 Zs1h1 | bruin | scherp | Bodemkundige interpretaties: bouwvoor. |
| 65 Zs1g1 | geel | scherp | Bodemhorizont: C. Geologische interpretaties: dekzand. |
| 70 Lz3 | licht groengrijs | beëindigd | Nieuwvormingen: roestvlekken, weinig. Geologische interpretaties: keileem. |

boring 135 RD-X: 233.575. RD-Y: 569.927. Boormethode: edelmanboring.

| diepte lithologie | kleur | grens | |
|-------------------|-------|-------------|---|
| 30 Zs1h2 | bruin | geleidelijk | Bodemkundige interpretaties: bouwvoor. Opmerkingen: veenbrokken doorworteling. |
| 60 Zs1g1 | geel | scherp | Bodemhorizont: C. Vlekken: licht gevlekt, licht bruin. Geologische interpretaties: dekzand. |

boring 136 RD-X: 233.533. RD-Y: 569.886. Boormethode: edelmanboring.

| diepte lithologie | kleur | grens | |
|-------------------|------------|-----------|---|
| 25 Zs1h2 | bruin | scherp | Bodemkundige interpretaties: bouwvoor. Opmerkingen: doorworteling. |
| 55 Zs1g1 | geel | scherp | Bodemhorizont: C. Vlekken: licht gevlekt, licht bruin. Geologische interpretaties: dekzand. Opmerkingen: leembrokken. |
| 65 Lz3g1 | groengrijs | beëindigd | Nieuwvormingen: roestvlekken, spoor. Geologische interpretaties: keileem. |

boring 137 RD-X: 233.477. RD-Y: 569.880. Boormethode: edelmanboring.

| diepte lithologie | kleur | grens | |
|-------------------|-----------|-------------|--|
| 35 Zs1h2 | bruin | scherp | Bodemkundige interpretaties: bouwvoor. |
| 45 Zs1 | roodbruin | geleidelijk | Opmerkingen: rommelig. |
| 80 Zs1g1 | geel | beëindigd | Bodemhorizont: C. Vlekken: licht gevlekt, licht bruin. Bijmengsel grofste fractie: stenen, spoor. Geologische interpretaties: dekzand. |

boring 138 RD-X: 234.920. RD-Y: 572.314. Boormethode: edelmanboring.

| diepte lithologie | kleur | grens | |
|-------------------|--------------|-------------|--|
| 40 Zs1h1 | bruin | scherp | Vlekken: matig gevlekt, geel. Bodemkundige interpretaties: bouwvoor. |
| 120 Zs1 | geel | scherp | Vlekken: sterk gevlekt, bruin. Nieuwvormingen: roestvlekken, spoor. Bodemkundige interpretaties: opgebrachte grond (subrec. Opmerkingen: rommelig. |
| 130 Zs1h1 | donker bruin | geleidelijk | Bodemkundige interpretaties: bouwvoor. |
| 145 Zs1 | roodbruin | geleidelijk | Bodemhorizont: B. Opmerkingen: foto 104. |
| 160 Zs1 | oranjegeel | geleidelijk | Bodemhorizont: BC. |
| 195 Zs1g1 | geel | scherp | Bodemhorizont: C. Bijmengsel grofste fractie: stenen, spoor. Geologische interpretaties: dekzand. |
| 200 Lz3 | groengrijs | beëindigd | Nieuwvormingen: roestvlekken, spoor. Geologische interpretaties: keileem. |

boring 139 RD-X: 234.949. RD-Y: 572.348. Boormethode: edelmanboring.

| diepte lithologie | kleur | grens | |
|-------------------|-------------|-----------|--|
| 25 Zs1h1 | bruin | scherp | Vlekken: matig gevlekt, geel. Bodemkundige interpretaties: bouwvoor. |
| 110 Zs1 | geel | scherp | Vlekken: matig gevlekt, bruin. Nieuwvormingen: roestvlekken, spoor. Bodemkundige interpretaties: opgebrachte grond (subrec. Opmerkingen: rommelig. |
| 120 Zs1 | zwartgrijs | scherp | Laagtrends: humeus aan de basis. |
| 135 Zs1h2 | roodbruin | scherp | Bodemhorizont: B. Opmerkingen: rommelig. |
| 175 Zs1 | donker geel | beëindigd | Bodemhorizont: C. Geologische interpretaties: dekzand. |

boring 140 RD-X: 234.997. RD-Y: 572.415. Boormethode: edelmanboring.

| diepte lithologie | kleur | grens | |
|-------------------|--------------|-----------|---|
| 90 Zs1h1 | donker bruin | scherp | Vlekken: matig gevlekt, geel. Bodemkundige interpretaties: bouwvoor. Opmerkingen: rommelig. |
| 110 Zs1 | geel | beëindigd | Bodemhorizont: C. Nieuwvormingen: roestvlekken, spoor. Geologische interpretaties: dekzand. |

boring 141 RD-X: 234.992. RD-Y: 572.476. Boormethode: edelmanboring.

| diepte lithologie | kleur | grens | |
|-------------------|--------------|----------|---|
| 105 Zs1h1 | donker bruin | gestaakt | Vlekken: sterk gevlekt, geel. Archeologische indicatoren: baksteen, weinig. Bodemkundige interpretaties: bouwvoor. Opmerkingen: rommelig. |

boring 142 RD-X: 234.992. RD-Y: 572.520. Boormethode: edelmanboring.

| diepte lithologie | kleur | grens | |
|-------------------|--------------|-----------|---|
| 100 Zs1h1g2 | donker bruin | scherp | Vlekken: licht gevlekt, geel. Archeologische indicatoren: baksteen, weinig, puin. Bodemkundige interpretaties: bouwvoor. Opmerkingen: rommelig. |
| 110 Zs1 | geel | beëindigd | Bodemhorizont: C. Nieuwvormingen: roestvlekken, spoor. Geologische interpretaties: dekzand. Opmerkingen: leembrokken. |

boring 143 RD-X: 235.024. RD-Y: 572.561. Boormethode: edelmanboring.

| diepte lithologie | kleur | grens | |
|-------------------|--------------|----------|---|
| 100 Zs1h1g2 | donker bruin | gestaakt | Vlekken: matig gevlekt, geel. Archeologische indicatoren: baksteen, weinig, puin. Bodemkundige interpretaties: bouwvoor. Opmerkingen: rommelig. |

boring 144 RD-X: 235.067. RD-Y: 572.549. Boormethode: edelmanboring.

| diepte lithologie | kleur | grens | |
|-------------------|--------------|-----------|--|
| 85 Zs1 | donker bruin | scherp | Bodemkundige interpretaties: bouwvoor. |
| 110 Zs1 | geel | beëindigd | Bodemhorizont: C. Geologische interpretaties: dekzand. |

boring 145 RD-X: 233.383. RD-Y: 569.895. Boormethode: edelmanboring.

| diepte lithologie | kleur | grens | |
|-------------------|--------------|-----------|--|
| 45 Zs1h1g1 | donker bruin | scherp | Bodemkundige interpretaties: bouwvoor. |
| 85 Zs1 | grijsgeel | beëindigd | Bodemhorizont: C. Geologische interpretaties: dekzand. |

boring 146 RD-X: 233.334. RD-Y: 569.884. Boormethode: edelmanboring.

| diepte lithologie | kleur | grens | |
|-------------------|--------------|-----------|--|
| 40 Zs1h1 | donker bruin | scherp | Bodemkundige interpretaties: bouwvoor. Opmerkingen: veenbrokken. |
| 95 Zs1 | geel | beëindigd | Bodemhorizont: C. Geologische interpretaties: dekzand. |

boring 147 RD-X: 233.322. RD-Y: 569.879. Boormethode: edelmanboring.

| diepte lithologie | kleur | grens | |
|-------------------|--------------|-----------|--|
| 35 Zs1h1 | donker bruin | scherp | Vlekken: matig gevlekt, donker geel. Bodemkundige interpretaties: bouwvoor. |
| 65 Zs1 | geel | beëindigd | Bodemhorizont: C. Nieuwvormingen: roestvlekken, weinig. Geologische interpretaties: dekzand. |

boring 148 RD-X: 233.243. RD-Y: 569.862. Boormethode: edelmanboring.

| diepte lithologie | kleur | grens | |
|-------------------|--------------|-------------|--|
| 35 Zs1h1 | donker bruin | geleidelijk | Vlekken: matig gevlekt, donker geel. Bodemkundige interpretaties: bouwvoor. |
| 45 Zs1 | bruin | geleidelijk | Vlekken: matig gevlekt, geel. Opmerkingen: podzolmix. |
| 80 Zs1 | geel | beëindigd | Bodemhorizont: C. Nieuwvormingen: roestvlekken, weinig. Geologische interpretaties: dekzand. |

boring 201 RD-X: 236.109. RD-Y: 571.293. Boormethode: edelmanboring.

| diepte lithologie | kleur | grens | |
|-------------------|--------------|-------------|--|
| 30 Zs1 | donker grijs | scherp | |
| 50 Zs1 | geel | geleidelijk | Vlekken: sterk gevlekt, bruin. Opmerkingen: rommelig. |
| 70 Zs1 | geel | beëindigd | Bodemhorizont: C. Geologische interpretaties: dekzand. |

boring 202 RD-X: 236.080. RD-Y: 571.323. Boormethode: edelmanboring.

| diepte lithologie | kleur | grens | |
|-------------------|--------------|-----------|--|
| 40 Zs1 | donker grijs | scherp | |
| 70 Zs1 | geel | beëindigd | Bodemhorizont: C. Geologische interpretaties: dekzand. |

boring 203 RD-X: 236.059. RD-Y: 571.367. Boormethode: edelmanboring.

| diepte lithologie | kleur | grens | |
|-------------------|--------------|-------------|---|
| 30 Zs1 | donker grijs | geleidelijk | |
| 90 Zs1g1 | geel | geleidelijk | Vlekken: sterk gevlekt, bruin. Opmerkingen: rommelig. |
| 100 Zs1 | grijs | beëindigd | Vlekken: sterk gevlekt, geel. Opmerkingen: rommelig. |

boring 204 RD-X: 236.007. RD-Y: 571.364. Boormethode: edelmanboring.

| <i>diepte lithologie</i> | <i>kleur</i> | <i>grens</i> | |
|--------------------------|----------------|--------------|--------------------------------|
| 40 Zs1 | donker grijs | scherp | |
| 70 Zs1 | licht grijswit | geleidelijk | Zandmediaanklasse: matig grof. |
| 100 Zs1g2 | bruingrijs | beëindigd | Zandmediaanklasse: matig grof. |

boring 205 RD-X: 236.039. RD-Y: 571.331. Boormethode: edelmanboring.

| <i>diepte lithologie</i> | <i>kleur</i> | <i>grens</i> | |
|--------------------------|--------------|--------------|---|
| 30 Zs1 | donker grijs | geleidelijk | |
| 50 Zs1 | geel | geleidelijk | Vlekken: sterk gevlekt, licht grijs. Opmerkingen: rommelig. |
| 70 Zs1 | geel | beëindigd | Bodemhorizont: C. Geologische interpretaties: dekszand. |

boring 206 RD-X: 236.067. RD-Y: 571.280. Boormethode: edelmanboring.

| <i>diepte lithologie</i> | <i>kleur</i> | <i>grens</i> | |
|--------------------------|--------------|--------------|---|
| 35 Zs1 | donker grijs | geleidelijk | |
| 60 Zs1 | geel | beëindigd | Bodemhorizont: C. Geologische interpretaties: dekszand. |

boring 207 RD-X: 236.087. RD-Y: 571.238. Boormethode: edelmanboring.

| <i>diepte lithologie</i> | <i>kleur</i> | <i>grens</i> | |
|--------------------------|--------------|--------------|---|
| 45 Zs1 | donker grijs | geleidelijk | |
| 70 Zs1 | geel | beëindigd | Bodemhorizont: C. Geologische interpretaties: dekszand. |

boring 208 RD-X: 236.058. RD-Y: 571.203. Boormethode: edelmanboring.

| <i>diepte lithologie</i> | <i>kleur</i> | <i>grens</i> | |
|--------------------------|--------------|--------------|---|
| 45 Zs1 | donker grijs | geleidelijk | |
| 60 Zs1 | witgeel | scherp | Opmerkingen: rommelig. |
| 80 Zs1 | licht geel | beëindigd | Bodemhorizont: C. Geologische interpretaties: dekszand. |

boring 209 RD-X: 236.026. RD-Y: 571.160. Boormethode: edelmanboring.

| <i>diepte lithologie</i> | <i>kleur</i> | <i>grens</i> | |
|--------------------------|--------------|--------------|---|
| 40 Zs1 | donker grijs | geleidelijk | |
| 70 Zs1 | licht geel | beëindigd | Bodemhorizont: C. Geologische interpretaties: dekszand. |

boring 210 RD-X: 236.003. RD-Y: 571.208. Boormethode: edelmanboring.

| <i>diepte lithologie</i> | <i>kleur</i> | <i>grens</i> | |
|--------------------------|--------------|--------------|--|
| 40 Zs1 | donker grijs | geleidelijk | |
| 50 Zs1 | bruin | geleidelijk | Bodemhorizont: BC. Geologische interpretaties: dekszand. |
| 70 Zs1 | geel | beëindigd | Bodemhorizont: C. Geologische interpretaties: dekszand. |

boring 211 RD-X: 235.982. RD-Y: 571.244. Boormethode: edelmanboring.

| <i>diepte lithologie</i> | <i>kleur</i> | <i>grens</i> | |
|--------------------------|--------------|--------------|--|
| 35 Zs1 | donker grijs | geleidelijk | |
| 45 Zs1 | licht grijs | geleidelijk | Bodemhorizont: E. Geologische interpretaties: dekszand. Opmerkingen: rommelig. |
| 70 Zs1 | donker bruin | geleidelijk | Bodemhorizont: B. Opmerkingen: rommelig. |
| 80 Zs1 | geel | beëindigd | Bodemhorizont: C. |

boring 212 RD-X: 235.954. RD-Y: 571.291. Boormethode: edelmanboring.

| <i>diepte lithologie</i> | <i>kleur</i> | <i>grens</i> | |
|--------------------------|--------------|--------------|---|
| 90 Zs1 | grijs | scherp | Opmerkingen: rommelig. |
| 100 Zs1 | geel | beëindigd | Bodemhorizont: C. Geologische interpretaties: dekszand. |

boring 213 RD-X: 233.904. RD-Y: 570.602. Boormethode: edelmanboring.

| diepte lithologie | kleur | grens | |
|-------------------|-----------|-------------|--|
| 30 Zs1 | bruin | geleidelijk | |
| 65 Zs1 | bruingeel | geleidelijk | Vlekken: matig gevlekt, donker bruin. Opmerkingen: rommelig. |
| 100 Zs1 | geel | beëindigd | Vlekken: matig gevlekt, oranje. Zandmediaanklasse: matig grof. Nieuwvormingen: roestvlekken, veel. |

boring 214 RD-X: 233.947. RD-Y: 570.621. Boormethode: edelmanboring.

| diepte lithologie | kleur | grens | |
|-------------------|--------------|-----------|---|
| 30 Zs1 | donker grijs | scherp | |
| 65 Zs1 | licht geel | beëindigd | Bodemhorizont: C. Nieuwvormingen: roestvlekken, spoor. Geologische interpretaties: dekzand. |

boring 215 RD-X: 233.979. RD-Y: 570.660. Boormethode: edelmanboring.

| diepte lithologie | kleur | grens | |
|-------------------|--------------|-------------|---|
| 30 Zs1 | donker grijs | geleidelijk | |
| 60 Zs1 | bruin | geleidelijk | Bodemhorizont: BC. Geologische interpretaties: dekzand. |
| 80 Zs1 | geel | beëindigd | Bodemhorizont: C. |

boring 216 RD-X: 233.933. RD-Y: 570.638. Boormethode: edelmanboring.

| diepte lithologie | kleur | grens | |
|-------------------|--------------|-------------|------------------------------|
| 35 Zs1 | donker grijs | geleidelijk | |
| 50 Zs1 | geelwit | geleidelijk | Opmerkingen: lemig rommelig. |
| 80 Zs1 | geelwit | beëindigd | |

boring 217 RD-X: 233.894. RD-Y: 570.624. Boormethode: edelmanboring.

| diepte lithologie | kleur | grens | |
|-------------------|-----------|-------------|---|
| 50 Zs1 | bruin | geleidelijk | |
| 80 Zs1 | grijsgeel | geleidelijk | Nieuwvormingen: roestvlekken, weinig. Opmerkingen: lemig. |
| 100 Lz1 | grijsgeel | beëindigd | |

boring 301 RD-X: 233.705. RD-Y: 569.842. Boormethode: edelmanboring.

| diepte lithologie | kleur | grens | |
|-------------------|-------------------|-------------|--|
| 20 Zs1 | donker grijsbruin | geleidelijk | Bodemkundige interpretaties: bouwvoor. |
| 30 Zs1 | donker bruin | scherp | Vlekken: sterk gevlekt, zwart. Opmerkingen: rommelig, veenresten, b horizontvlekken. |
| 100 Zs1 | licht grijs | beëindigd | Bodemhorizont: C. Geologische interpretaties: dekzand. |

boring 302 RD-X: 233.669. RD-Y: 569.813. Boormethode: edelmanboring.

| diepte lithologie | kleur | grens | |
|-------------------|-------------------|-----------|---|
| 30 Zs1h1 | donker grijsbruin | scherp | Bodemkundige interpretaties: bouwvoor. |
| 65 Zs1 | licht geel | beëindigd | Bodemhorizont: C. Nieuwvormingen: roestvlekken, spoor. Geologische interpretaties: dekzand. |

boring 303 RD-X: 233.638. RD-Y: 569.792. Boormethode: edelmanboring.

| diepte lithologie | kleur | grens | |
|-------------------|-------------------|-------------|--|
| 30 Zs1 | donker grijsbruin | scherp | Bodemkundige interpretaties: bouwvoor. |
| 60 Zs1 | donker geel | geleidelijk | Bodemhorizont: BC. Nieuwvormingen: roestvlekken, veel. |
| 100 Zs1 | geel | beëindigd | Bodemhorizont: C. Nieuwvormingen: roestvlekken, veel. Geologische interpretaties: dekzand. |

boring 304 RD-X: 233.353. RD-Y: 569.611. Boormethode: edelmanboring.

| diepte lithologie | kleur | grens | |
|-------------------|--------------|-------------|--|
| 50 Zs1 | grijsbruin | scherp | Bodemkundige interpretaties: bouwvoor. |
| 60 Zs1 | donker bruin | geleidelijk | Bodemhorizont: B. |
| 110 Zs1 | donker geel | beëindigd | Bodemhorizont: C. Geologische interpretaties: dekzand. |

boring 305 RD-X: 233.356. RD-Y: 569.649. Boormethode: edelmanboring.

| diepte lithologie | kleur | grens | |
|-------------------|-------------------|-------------|---|
| 20 Zs1 | donker grijsbruin | geleidelijk | Bodemkundige interpretaties: bouwvoor. |
| 40 Zs1 | donker grijsbruin | scherp | Vlekken: sterk gevlekt, wit. Bodemkundige interpretaties: vergraven. Opmerkingen: rommelig. |
| 80 Zs1 | witgrijs | beëindigd | Bodemhorizont: C. Geologische interpretaties: dekzand. |

boring 306 RD-X: 233.352. RD-Y: 569.701. Boormethode: edelmanboring.

| diepte lithologie | kleur | grens | |
|-------------------|-------------------|-------------|--|
| 20 Zs1 | donker grijsbruin | geleidelijk | Bodemkundige interpretaties: bouwvoor. |
| 50 Zs1 | zwart | scherp | Opmerkingen: veenresten, rommelig. |
| 60 Zs1 | donker geel | geleidelijk | Bodemhorizont: BC. |
| 100 Zs1 | geel | beëindigd | Bodemhorizont: C. Geologische interpretaties: dekzand. |

boring 307 RD-X: 233.364. RD-Y: 569.744. Boormethode: edelmanboring.

| diepte lithologie | kleur | grens | |
|-------------------|-------------------|-------------|--|
| 30 Zs1 | donker grijsbruin | geleidelijk | Bodemkundige interpretaties: bouwvoor. |
| 45 Zs1 | donker bruin | geleidelijk | Bodemhorizont: B. |
| 100 Zs1 | licht geel | beëindigd | Bodemhorizont: C. Geologische interpretaties: dekzand. |

boring 308 RD-X: 233.325. RD-Y: 569.742. Boormethode: edelmanboring.

| diepte lithologie | kleur | grens | |
|-------------------|-------------------|-------------|---|
| 20 Zs1 | donker grijsbruin | scherp | Bodemkundige interpretaties: bouwvoor. |
| 40 Zs1 | donker bruin | geleidelijk | Bodemhorizont: B. |
| 80 Zs1 | geel | beëindigd | Bodemhorizont: C. Nieuwvormingen: roestvlekken, spoor. Geologische interpretaties: dekzand. |

boring 309 RD-X: 233.325. RD-Y: 569.781. Boormethode: edelmanboring.

| diepte lithologie | kleur | grens | |
|-------------------|-------------------|-------------|--|
| 30 Zs1 | donker grijsbruin | scherp | Bodemkundige interpretaties: bouwvoor. |
| 45 Zs1 | geel | scherp | Nieuwvormingen: roestvlekken, spoor. Bodemkundige interpretaties: opgebrachte grond. |
| 100 Zs1 | zwart | geleidelijk | Opmerkingen: rommelig, veenresten, b horizont. |
| 130 Zs1 | grijsgeel | beëindigd | Bodemhorizont: C. |

boring 310 RD-X: 233.293. RD-Y: 569.777. Boormethode: edelmanboring.

| diepte lithologie | kleur | grens | |
|-------------------|-------------------|-----------|---|
| 30 Zs1h1 | donker grijsbruin | scherp | Bodemkundige interpretaties: bouwvoor. |
| 70 Zs1 | licht geel | beëindigd | Bodemhorizont: C. Nieuwvormingen: roestvlekken, spoor. Geologische interpretaties: dekzand. |

boring 311 RD-X: 233.264. RD-Y: 569.817. Boormethode: edelmanboring.

| diepte lithologie | kleur | grens | |
|-------------------|-------------------|-------------|--|
| 30 Zs1h2 | donker grijsbruin | geleidelijk | Bodemkundige interpretaties: bouwvoor. |
| 60 Zs1 | zwart | geleidelijk | Opmerkingen: rommelig, veenresten. |
| 80 Zs1 | donker bruin | geleidelijk | Bodemhorizont: B. |
| 130 Zs1 | licht grijs | beëindigd | Bodemhorizont: C. |

boring 312 RD-X: 233.248. RD-Y: 569.868. Boormethode: edelmanboring.

| diepte lithologie | kleur | grens | |
|-------------------|-------------|-----------|--|
| 30 Zs1 | grijsbruin | scherp | Bodemkundige interpretaties: bouwvoor. |
| 80 Zs1 | licht grijs | beëindigd | Bodemhorizont: C. Nieuwvormingen: roestvlekken, veel. Geologische interpretaties: dekzand. |

boring 313 RD-X: 233.245. RD-Y: 569.961. Boormethode: edelmanboring.

| diepte lithologie | kleur | grens | |
|-------------------|-------------|-------------|--|
| 20 Zs1 | grijsbruin | geleidelijk | Bodemkundige interpretaties: bouwvoor. |
| 40 Zs1 | licht grijs | scherp | Opmerkingen: rommelig. |
| 120 Zs1 | licht grijs | beëindigd | Geologische interpretaties: keizand. |

boring 314 RD-X: 233.288. RD-Y: 569.994. Boormethode: edelmanboring.

| diepte lithologie | kleur | grens | |
|-------------------|--------------|-------------|--|
| 40 Zs1 | grijsbruin | geleidelijk | Bodemkundige interpretaties: bouwvoor. |
| 80 Zs1 | zwart | geleidelijk | Opmerkingen: rommelig, veenresten. |
| 90 Zs1 | donker bruin | scherp | Opmerkingen: b horizontvlekken. |
| 130 Zs1 | witgrijs | beëindigd | Bodemhorizont: C. |

boring 315 RD-X: 233.312. RD-Y: 570.031. Boormethode: edelmanboring.

| diepte lithologie | kleur | grens | |
|-------------------|-------------------|-------------|--|
| 30 Zs1 | donker grijsbruin | geleidelijk | Bodemkundige interpretaties: bouwvoor. |
| 40 Zs1 | donker bruin | geleidelijk | Bodemhorizont: B. |
| 75 Zs1 | licht grijs | beëindigd | Bodemhorizont: C. Nieuwvormingen: roestvlekken, weinig. Geologische interpretaties: dekzand. |

boring 316 RD-X: 233.338. RD-Y: 570.062. Boormethode: edelmanboring.

| diepte lithologie | kleur | grens | |
|-------------------|-------------------|-------------|--|
| 30 Zs1h1 | donker grijsbruin | geleidelijk | Bodemkundige interpretaties: bouwvoor. |
| 60 Zs1 | donker bruin | geleidelijk | Bodemhorizont: B. |
| 100 Zs1 | licht geel | beëindigd | Bodemhorizont: C. Geologische interpretaties: dekzand. |

boring 317 RD-X: 233.391. RD-Y: 570.089. Boormethode: edelmanboring.

| diepte lithologie | kleur | grens | |
|-------------------|-------------------|-------------|--|
| 30 Zs1h1 | donker grijsbruin | geleidelijk | Bodemkundige interpretaties: bouwvoor. |
| 60 Zs1 | donker bruin | geleidelijk | Bodemhorizont: B. |
| 100 Zs1 | geel | beëindigd | Bodemhorizont: C. Geologische interpretaties: dekzand. |

boring 318 RD-X: 233.436. RD-Y: 570.126. Boormethode: edelmanboring.

| diepte lithologie | kleur | grens | |
|-------------------|-------------------|-------------|--|
| 30 Zs1 | donker grijsbruin | geleidelijk | Bodemkundige interpretaties: bouwvoor. |
| 50 Zs1 | donker bruin | geleidelijk | Bodemhorizont: B. |
| 70 Zs1 | geel | beëindigd | Bodemhorizont: C. Geologische interpretaties: dekzand. |

boring 319 RD-X: 233.425. RD-Y: 570.221. Boormethode: edelmanboring.

| diepte lithologie | kleur | grens | |
|-------------------|------------|-----------|--|
| 30 Zs1 | grijsbruin | scherp | Bodemkundige interpretaties: bouwvoor. |
| 60 Zs1 | geel | beëindigd | Bodemhorizont: C. Geologische interpretaties: dekzand. |

boring 320 RD-X: 233.517. RD-Y: 570.228. Boormethode: edelmanboring.

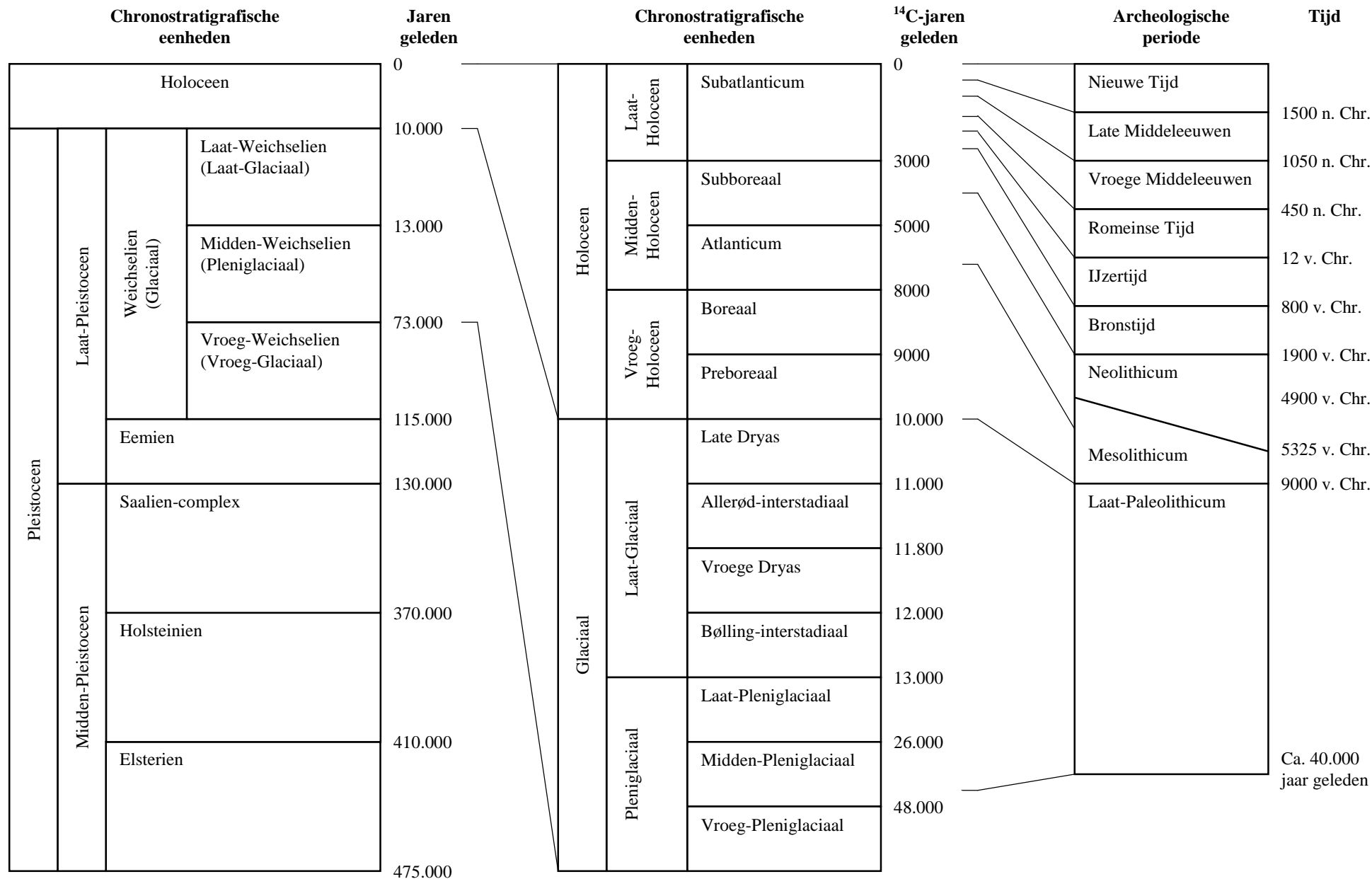
| <i>diepte lithologie</i> | <i>kleur</i> | <i>grens</i> | |
|--------------------------|-------------------|--------------|--|
| 30 Zs1 | donker grijsbruin | scherp | <i>Bodemkundige interpretaties:</i> bouwvoor. |
| 80 Zs1 | licht grijs | geleidelijk | <i>Bodemhorizont:</i> C. |
| 120 Lz3 | licht grijs | beëindigd | <i>Nieuwvormingen:</i> roestvlekken, veel. <i>Geologische interpretaties:</i> keileem. |

boring 321 RD-X: 233.556. RD-Y: 570.245. Boormethode: edelmanboring.

| <i>diepte lithologie</i> | <i>kleur</i> | <i>grens</i> | |
|--------------------------|-------------------|--------------|--|
| 30 Zs1 | donker grijsbruin | geleidelijk | <i>Bodemkundige interpretaties:</i> bouwvoor. |
| 60 Lz1 | licht blauwgrijs | beëindigd | <i>Nieuwvormingen:</i> roestvlekken, veel. <i>Geologische interpretaties:</i> keileem. |

boring 322 RD-X: 233.591. RD-Y: 570.254. Boormethode: edelmanboring.

| <i>diepte lithologie</i> | <i>kleur</i> | <i>grens</i> | |
|--------------------------|-------------------|--------------|--|
| 20 Zs1 | donker grijsbruin | geleidelijk | <i>Bodemkundige interpretaties:</i> bouwvoor. |
| 40 Zs1 | donker bruin | geleidelijk | <i>Bodemhorizont:</i> B. |
| 70 Lz1 | licht blauwgrijs | beëindigd | <i>Nieuwvormingen:</i> roestvlekken, weinig. <i>Geologische interpretaties:</i> keileem. |



Bijlage 2. Een overzicht van geologische (chronostratigrafische) en archeologische periodes. Door: A.J. Wullink. Gebaseerd op: Brandt et al. 1992; De Mulder et al. 2003; Berendsen 2004.